

UNIVERSIDADE FEDERAL DO ESPÍRITO SANTO  
CENTRO DE CIÊNCIAS JURÍDICAS E ECONÔMICAS  
PROGRAMA DE PÓS-GRADUAÇÃO EM ECONOMIA

ALBERSON DA SILVA MIRANDA

ENSAIOS EM MÉTODOS DE MACHINE  
LEARNING PARA RECONCILIAÇÃO ÓTIMA DE  
SÉRIES TEMPORAIS HIERÁRQUICAS E  
AGRUPADAS

VITÓRIA

2024

ALBERSON DA SILVA MIRANDA

ENSAIOS EM MÉTODOS DE MACHINE LEARNING PARA  
RECONCILIAÇÃO ÓTIMA DE SÉRIES TEMPORAIS  
HIERÁRQUICAS E AGRUPADAS

Dissertação apresentada ao Programa de Pós-Graduação em Economia da Universidade Federal do Espírito Santo, como requisito para a obtenção do título de Mestre em Economia.

Orientador: Prof. Dr. Guilherme A. de A. Pereira

VITÓRIA

2024

ALBERSON DA SILVA MIRANDA

ENSAIOS EM MÉTODOS DE MACHINE LEARNING PARA RECONCILIAÇÃO  
ÓTIMA DE SÉRIES TEMPORAIS HIERÁRQUICAS E AGRUPADAS/ ALBERSON  
DA SILVA MIRANDA. – VITÓRIA, 2024-

69p. : il. (algumas color.) ; 30 cm.

Orientador: Prof. Dr. Guilherme A. de A. Pereira

Dissertação (Mestrado) – UNIVERSIDADE FEDERAL DO ESPÍRITO SANTO  
CENTRO DE CIÊNCIAS JURÍDICAS E ECONÔMICAS  
PROGRAMA DE PÓS-GRADUAÇÃO EM ECONOMIA, 2024.

1. Economia Bancária. 2. Séries Temporais Hierárquicas. 3. Reconciliação Ótima. 4.  
Machine Learning. I. Pereira, Guilherme Armando de Almeida. II. Universidade Federal  
do Espírito Santo. III. Centro de Ciências Jurídicas e Econômicas. IV. Título

ALBERSON DA SILVA MIRANDA

ENSAIOS EM MÉTODOS DE MACHINE LEARNING PARA  
RECONCILIAÇÃO ÓTIMA DE SÉRIES TEMPORAIS  
HIERÁRQUICAS E AGRUPADAS

Dissertação apresentada ao Programa de Pós-Graduação em Economia da Universidade Federal do Espírito Santo, como requisito para a obtenção do título de Mestre em Economia.

Aprovada em 29 de fevereiro de 2024.

**COMISSÃO EXAMINADORA**

---

**Prof. Dr. Guilherme A. de A. Pereira**  
Universidade Federal do Espírito Santo  
Orientador

---

**Prof. Dr. Edson Zambon Monte**  
Universidade Federal do Espírito Santo

---

**Prof. Dr. Fernando Luiz Cyrino Oliveira**  
PUC-Rio

# RESUMO

O campo de pesquisa em métodos para previsões de séries temporais hierárquicas tem se mostrado fértil na última década, com seus avanços contribuindo para ganhos de acurácia na previsão de uma ampla gama de coleções de séries temporais. Recentemente, métodos de *machine learning* (ML) têm sido incorporados à literatura de séries temporais hierárquicas, com trabalhos como os de [Spiliotis et al. \(2021\)](#) e [Makridakis, Spiliotis e Assimakopoulos \(2022\)](#) demonstrando resultados promissores. Este trabalho estende a exploração desses métodos na reconciliação ótima de séries temporais hierárquicas e agrupadas, investigando abordagens como *random forest*, *gradient boosting*, *elastic net* e *support vector machines*, e avaliando tanto sua performance preditiva quanto sua praticidade em termos de tempo de processamento. Além disso, o trabalho explora os efeitos de diferentes estratégias de obtenção do conjunto de treinamento para os modelos de ML, utilizando previsões para dentro da amostra obtidas via *rolling origin forecasting*, valores ajustados de modelos reestimados (*reduced fitted base*) e valores ajustados dos modelos de previsão base (*fitted base*). Para avaliar a metodologia proposta, foram realizados três estudos de caso, sendo o primeiro relacionado a uma aplicação em economia bancária no Brasil, enquanto os demais envolvem bases de dados relacionadas ao setor de turismo doméstico australiano, amplamente utilizadas na literatura de séries temporais hierárquicas: 1. previsão de saldos de empréstimos e financiamentos do Banco do Estado do Espírito Santo; 2. previsão da quantidade trimestral de viagens; e 3. previsão da quantidade mensal de noites que os visitantes passam em viagens. Os resultados revelam que não há método ou estratégia que alcance consistentemente a melhor performance em todas as bases de dados ou níveis hierárquicos. Portanto, a escolha do método de reconciliação e da estratégia para obtenção do conjunto de treinamento depende não apenas da amostra, mas também do nível hierárquico de interesse do pesquisador. A combinação correta do método de ML e da estratégia pode resultar em até 91% de ganho de performance em relação aos métodos analíticos de reconciliação ótima.

**Palavras-chave:** Séries Temporais Hierárquicas. Reconciliação Ótima. *Machine Learning*. Economia Bancária.

# ABSTRACT

In the past decade, the field of hierarchical time series forecasting has witnessed significant growth, marked by advancements that have enhanced accuracy of predicting a wide variety of time series. Recently, machine learning (ML) methods have been incorporated into the literature on hierarchical time series, with works such as those by [Spiliotis et al. \(2021\)](#) and [Makridakis, Spiliotis e Assimakopoulos \(2022\)](#) demonstrating promising results. This thesis builds upon these advancements, further exploring the potential of ML methods for optimal reconciliation of hierarchical and grouped time series by investigating approaches such as random forest, gradient boosting, elastic net and support vector machines. It assesses both their predictive performance and practical feasibility in terms of processing time. Moreover, the thesis investigates the impact of various training set acquisition strategies for ML models. These strategies include in-sample forecasts obtained through rolling origin forecasting, fitted values of reestimated models, and fitted values of base forecasts models. To evaluate the proposed methodology, three case studies were undertaken. The initial case study focuses on applying ML reconciliation in the context of Brazilian banking economics. Subsequent studies center on Australian domestic tourism datasets, which are frequently referenced in hierarchical time series literature. These include forecasting loan and financing balances for the State Bank of Espírito Santo (Brazil), quarterly overnight trips, and monthly visitor nights. The findings reveal that no single method or strategy consistently outperforms others across all datasets or hierarchical levels. Thus, the choice of reconciliation method and training set strategy hinges not only on the sample but also on the researcher's specific hierarchical level of interest. Nonetheless, the appropriate combination of ML method and strategy can yield up to a 91% improvement in accuracy compared to the best-performing analytical reconciliation method.

**Keywords:** Hierarchical Time-Series. Optimal Reconciliation. Machine Learning. Economics of Banking.

# LISTA DE FIGURAS

Figura 1 – Séries Hierárquicas . . . . .	16
Figura 2 – Séries Agrupadas . . . . .	17
Figura 3 – Séries Hierárquicas Agrupadas (a) . . . . .	18
Figura 4 – Séries Hierárquicas Agrupadas (b) . . . . .	18
Figura 5 – Previsões base a serem reconciliadas . . . . .	26
Figura 6 – Esquema de modelagem <i>rolling forecast</i> . . . . .	27
Figura 7 – Metodologia de combinação ótima via ML. Estratégia <i>rolling forecast</i> . . . . .	28
Figura 8 – Metodologia de combinação ótima via ML. Estratégia <i>reduced fitted base</i> . . . . .	29
Figura 9 – Validação <i>k</i> -fold aleatória . . . . .	32
Figura 10 – Validação <i>k</i> -fold com origem móvel . . . . .	33
Figura 11 – Validação <i>k</i> -fold não-dependente . . . . .	33
Figura 12 – O Estado do Espírito Santo e suas meso e microrregiões. . . . .	37
Figura 13 – Série temporal do agregado de crédito do Banestes no ES . . . . .	39
Figura 14 – Séries temporais do agregado de crédito do Banestes por mesorregião do ES . . . . .	39
Figura 15 – Séries temporais do agregado de crédito do Banestes por microrregião do ES . . . . .	40
Figura 16 – Séries temporais dos verbetes no agregado do ES . . . . .	40
Figura 17 – Séries temporais dos verbetes por mesorregião do ES . . . . .	41
Figura 18 – Crescimento de árvores em algoritmos de <i>boosting</i> . . . . .	64
Figura 19 – <i>Support vector classifiers</i> . . . . .	66

# LISTA DE TABELAS

Tabela 1 – Conjunto de treinamento para predição dos modelos de ML . . . . .	27
Tabela 2 – Microrregiões por mesorregião . . . . .	38
Tabela 3 – Municípios por microrregião . . . . .	38
Tabela 4 – Resultados do teste de Ljung-box para as previsões base ( $\alpha = 0.05$ ) . . . . .	42
Tabela 5 – Resultados Estban: Acurácia dos métodos analíticos de reconciliação . . . . .	44
Tabela 6 – Resultados Estban: Acurácia dos métodos de ML de reconciliação, estratégia rolling forecast. . . . .	44
Tabela 7 – Resultados Estban: Acurácia dos métodos de ML de reconciliação, estratégia fitted base . . . . .	45
Tabela 8 – Resultados Estban: Acurácia dos métodos de ML de reconciliação, estratégia reduced fitted base . . . . .	45
Tabela 9 – Resultados Estban: Tempo de processamento dos métodos de ML (em horas) . . . . .	45
Tabela 10 – Resultados para “overnight trips”: Acurácia dos métodos analíticos de reconciliação . . . . .	47
Tabela 11 – Resultados para “overnight trips”: Acurácia dos métodos de ML de reconciliação, estratégia rolling forecast . . . . .	48
Tabela 12 – Resultados para “overnight trips”: Acurácia dos métodos de ML de reconciliação, estratégia fitted base . . . . .	48
Tabela 13 – Resultados para “overnight trips”: Acurácia dos métodos de ML de reconciliação, estratégia reduced fitted base . . . . .	49
Tabela 14 – Resultados para “overnight trips”: Tempo de processamento dos métodos de ML (em horas) . . . . .	49
Tabela 15 – Resultados para “visitor nights”: Acurácia dos métodos analíticos de reconciliação . . . . .	49
Tabela 16 – Resultados para “visitor nights”: Acurácia dos métodos de ML de reconciliação, estratégia rolling forecast . . . . .	50
Tabela 17 – Resultados para “visitor nights”: Acurácia dos métodos de ML de reconciliação, estratégia fitted base . . . . .	50
Tabela 18 – Resultados para “visitor nights”: Acurácia dos métodos de ML de reconciliação, estratégia reduced fitted base . . . . .	51
Tabela 19 – Resultados para “visitor nights”: Tempo de processamento dos métodos de ML (em horas) . . . . .	51
Tabela 20 – Intervalos de hiperparâmetros para {xgboost} . . . . .	68
Tabela 21 – Intervalos de hiperparâmetros para {lightgbm} . . . . .	68
Tabela 22 – Intervalos de hiperparâmetros para {ranger} . . . . .	68
Tabela 23 – Intervalos de hiperparâmetros para {e1071} (svm) . . . . .	69



Tabela 24 – Intervalos de hiperparâmetros para <code>{glmnet}</code> . . . . .	69
--	----

# LISTA DE ABREVIATURAS E SIGLAS

Banestes	BANco do ESTado do Espírito Santo
ETS	<i>Exponential Smoothing</i>
Favar	<i>Factor Augmented Vector Autoregression</i>
Lasso	<i>Least Absolute Shrinkage and Selection Operator</i>
LGBM	<i>Light Gradient Boosting Machine</i>
MCRL	Modelo Clássico de Regressão Linear
MASE	<i>Mean Absolute Scaled Error</i>
MinT	<i>Minimum Trace</i>
ML	<i>Machine Learning</i>
MQGF	Mínimos Quadrados Generalizados Factivéis
MQO	Mínimos Quadrados Ordinários
MQP	Mínimos Quadrados Ponderados
PIB	Produto Interno Bruto
RF	<i>Random Forest</i>
RMSSE	<i>Root Mean Squared Scaled Error</i>
SFN	Sistema Financeiro Nacional
SVM	<i>Support Vector Machines</i>
SVR	<i>Support Vector Regression</i>
XGBoost	<i>Extreme Gradient Boosting</i>

# LISTA DE SÍMBOLOS

$t$	Tempo dentro da amostra
$T$	Último tempo dentro da amostra
$h$	Horizonte de previsão, tempo fora da amostra
$\Omega$	Conjunto de dados dentro da amostra
$y$	Série temporal dentro da amostra
$\hat{y}$	Série temporal estimada
$\tilde{y}$	Série temporal reconciliada
$n$	Número de séries na hierarquia
$m$	Número de séries no menor nível da hierarquia
$k$	Número de níveis na hierarquia
$\mathbf{S}$	Matriz de soma
$\mathbf{G}$	Matriz de reconciliação
$\{\dots\}$	Conjunto
$ \{\dots\} $	Cardinalidade de um conjunto

# SUMÁRIO

1	INTRODUÇÃO . . . . .	13
1.1	Contextualização da pesquisa . . . . .	13
1.2	Outline . . . . .	15
2	RECONCILIAÇÃO DE SÉRIES TEMPORAIS HIERÁRQUICAS E AGRUPADAS . . . . .	16
2.1	Notação algébrica . . . . .	16
2.2	Abordagens de nível único . . . . .	18
2.3	Coerência e reconciliação . . . . .	23
3	ESTENDENDO O FRAMEWORK DE COMBINAÇÃO ÓTIMA VIA MACHINE LEARNING . . . . .	25
3.1	Introdução . . . . .	25
3.2	Metodologia de combinação ótima via machine learning . . . . .	26
3.3	O processo de ajuste e sobreajuste . . . . .	30
3.4	Reamostragem . . . . .	31
3.5	Validação cruzada $k$ -fold em séries temporais . . . . .	32
3.6	Conclusão . . . . .	34
4	PREVISÃO DE SALDOS DE EMPRÉSTIMOS E FINANCIAMEN- TOS DO BANCO DO ESTADO DO ESPÍRITO SANTO . . . . .	34
4.1	Introdução . . . . .	34
4.2	Revisão de literatura . . . . .	35
4.3	Metodologia . . . . .	36
4.4	Previsões base . . . . .	41
4.5	Resultados . . . . .	42
5	PREVISÃO PARA O TURISMO DOMÉSTICO AUSTRALIANO . . . . .	46
5.1	Introdução . . . . .	46
5.2	Resultados . . . . .	47
6	CONCLUSÃO . . . . .	47
	REFERÊNCIAS . . . . .	53
	APÊNDICES . . . . .	58
	APÊNDICE A – DEMONSTRAÇÕES . . . . .	59
	APÊNDICE B – MÉTODOS DE MACHINE LEARNING . . . . .	62

1	Elastic Net . . . . .	62
2	Gradient Boosting . . . . .	63
3	Random Forest . . . . .	63
4	Support Vector Machines . . . . .	64
	APÊNDICE C – CONJUNTOS DE HIPERPARÂMETROS . . . . .	68

# 1 INTRODUÇÃO

## 1.1 Contextualização da pesquisa

Diversas indústrias se enquadram em categorias de negócio que requerem previsões de múltiplas séries temporais correlacionadas que são resultados de agregação. Por exemplo, o total de empréstimos de uma instituição financeira corresponde ao agregado dos empréstimos de cada uma de suas agências; o total de vendas de uma rede nacional de farmácias corresponde ao agregado de vendas de suas unidades em cada estado; o total da produção de uma petrolífera multinacional corresponde ao total produzido em cada país por cada uma de suas plataformas. A essas estruturas naturais de agregação dá-se o nome de *séries temporais hierárquicas* (HYNDMAN; ATHANASOPOULOS, 2021).

No que concerne a elaboração dessas previsões, pode-se realizar previsões individualmente para todos os níveis da estrutura. No caso de uma empresa qualquer, isso significa realizar previsões, por exemplo, para cada filial, para o agregado das filiais de cada região e para o agregado da instituição. Infelizmente, não há qualquer razão matemática, exceto para métodos de previsão muito simples, para que essas previsões sejam *coerentes* (i.e. que a soma das previsões individuais seja igual às previsões do agregado). Para garantir previsões coerentes entre si foram desenvolvidos os chamados métodos de previsão hierárquicas (ATHANASOPOULOS; AHMED; HYNDMAN, 2009), sendo os mais simples o *top-down*, *bottom-up* e uma combinação das duas, o *middle-out*.

Ao menos desde a década de 1960, diversos trabalhos foram publicadas acerca das abordagens *bottom-up* e *top-down*, suas vantagens e desvantagens, e tentativas de se definir qual é o melhor método<sup>1</sup>. A abordagem *top-down* envolve realizar previsões para o total e então distribuí-las para cada nó filho da estrutura seguindo alguma lógica proporcional. Tomando o caminho inverso, a abordagem *bottom-up* consiste em realizar previsões para cada série do nível mais desagregado e, então, agregá-las para obter as previsões para os níveis superiores. Ambos métodos possuem suas vantagens e desvantagens e cabe ao analista avaliar o *trade-off* entre os ganhos de precisão percebidos com a geração de previsões individuais para todas as séries do menor nível hierárquico e a economia de tempo e processamento em realizar o contrário (GROSS; SOHL, 1990).

Além disso, ambas são abordagens de nível único, isto é, são realizadas as previsões para um único nível e então os demais níveis são obtidos agregando ou desagregando. O problema com esses tipos de abordagem é que elas utilizam informação incompleta (HYNDMAN; ATHANASOPOULOS, 2021). Por exemplo, suponha-se que se escolha estimar modelos para cada uma das  $n$  filiais de uma empresa e agregá-las (*bottom-up*). Nesse caso, ignora-se a influência que os níveis mais agregados podem ter na estimação de cada filial. Por outro lado,

<sup>1</sup> Revisões sistemáticas das literaturas iniciais relacionadas ao tema podem ser encontradas em Athanasopoulos, Ahmed e Hyndman (2009) e Athanasopoulos, Hyndman, Kourntzes e Panagiotelis (2023).

caso se escolha estimar modelos para o nível mais agregado (*top-down*), ignora-se a informação individual de cada filial.

Uma terceira possibilidade é a *reconciliação ótima*. Ela é uma abordagem que busca resolver esse problema e consiste em realizar previsões para todos os níveis hierárquicos e, então, estimar um modelo para reescrever as previsões do nível mais desagregado como uma combinação linear de todos os elementos da hierarquia. Obtidas as novas previsões no menor nível, elas são então agregadas, gerando previsões coerentes nos níveis superiores. Dessa forma, a informação de todos os níveis é utilizada na estimação dos modelos e na geração das previsões ao mesmo tempo em que a variância do erro de previsão é minimizada (WICKRAMASURIYA; ATHANASOPOULOS; HYNDMAN, 2019).

Atualmente, os métodos analíticos baseados na minimização do traço (MinT) da matriz da variância-covariância dos erros das previsões reconciliadas, desenvolvidos em Wickramasuriya, Athanasopoulos e Hyndman (2019), estão entre os mais populares na literatura da reconciliação ótima. Esses métodos divergem apenas na forma da qual se dá o relacionamento entre os diferentes elementos da hierarquia, resultando numa estimação por mínimos quadrados ordinários (MQO), mínimos quadrados ponderados (MQP) ou mínimos quadrados generalizados (MQG)<sup>2</sup>.

Entretanto, tais métodos são sujeitos a uma série de restrições, como as do modelo clássico de regressão linear (MCRL), e têm sua capacidade preditiva reduzida quando suas hipóteses são violadas. Além disso, esses métodos requerem que *toda* a informação seja utilizada, mesmo aquelas que eventualmente não sejam relevantes para aquela previsão. Nesse sentido, métodos de *machine learning* são mais gerais, de modo a permitir parâmetros não lineares e poderem aproximar virtualmente qualquer função, além de incluírem parâmetros de regularização, de forma que não necessariamente utilizam toda a informação disponível. Espera-se, portanto, que esses métodos alcancem melhor performance no problema da reconciliação ótima, justificando a pesquisa e atenção ao tema. Nessa direção, Spiliotis et al. (2021) propuseram uma metodologia para reconciliação ótima de séries temporais hierárquicas utilizando métodos de *machine learning*, especificamente o *gradient boosting* e *random forest*, obtendo resultados superiores aos métodos analíticos em algumas situações.

Tomando como ponto de partida a metodologia proposta por Spiliotis et al. (2021), este trabalho explora métodos adicionais de ML na tarefa de reconciliação ótima, especificamente os métodos de regressão regularizada Lasso, *ridge* e *elastic net*, e *support vector machines* (SVM), além de outra implementação de *gradient boosting*, o *LightGBM* (LGBM). Paralelamente, propõe e avalia estratégias alternativas na obtenção do conjunto de treinamento para os modelos de ML, verificando se sua performance preditiva supera a dos métodos analíticos nas

<sup>2</sup> Se os erros de previsão são descorrelacionados e homoscedásticos ao longo de toda estrutura (MQO), o que é impossível em séries temporais hierárquicas; se os erros são descorrelacionados e homoscedásticos apenas dentro do mesmo nível hierárquico (MQP estrutural); se os erros são descorrelacionados mas ponderados pela variância da série (MQP); ou se são correlacionados e variantes ao longo de toda a estrutura (MQG).

situações em que a metodologia original não foi capaz.

Para tanto, foram realizados três estudos de caso, sendo o primeiro em um contexto de economia bancária brasileira, enquanto os demais envolvem bases de dados amplamente utilizadas na literatura de séries temporais hierárquicas, relacionadas ao setor de turismo doméstico australiano. O primeiro estudo de caso trata da previsão de saldos de empréstimos e financiamentos do Banco do Estado do Espírito Santo (Banestes); o segundo, da previsão da quantidade trimestral de viagens domésticas na Austrália; e o terceiro, da previsão da quantidade mensal de noites que os visitantes passam em viagens domésticas na Austrália.

## 1.2 Outline

Esta dissertação está organizada da seguinte forma: no Capítulo 2, é introduzida a formalização algébrica e metodológica necessária para a compreensão dos métodos de previsões de séries temporais hierárquicas e reconciliação ótima, assim como uma breve revisão de literatura englobando os artigos seminais para o tema. No Capítulo 3, são apresentadas as variações de metodologias propostas para reconciliação ótima por ML. No Capítulo 4, é realizado o estudo de caso para a previsão de saldos de crédito e financiamento para o Banestes. No Capítulo 5, são realizados os estudos de casos para as bases de turismo doméstico australiano.

Uma síntese das contribuições desse trabalho é expressa pelos seguintes pontos:

1. Como trabalhos anteriores já haviam evidenciado, a reconciliação ótima por ML é capaz de melhorar a acurácia das previsões de séries temporais hierárquicas e agrupadas em relação aos métodos analíticos;
2. Além do *XGBoost* (XGB) e do *random forest* (RF), já testados em [Spiliotis et al. \(2021\)](#), foram avaliados na tarefa de reconciliação ótima os métodos de ML LGBM, *Lasso*, *ridge*, *elastic net*, e SVM.
3. Principalmente devido à quantidade de hiperparâmetros a serem calibrados, os métodos de ML baseados em árvore de decisão (XGB, RF e LGBM) apresentaram custo elevado em tempo de processamento, ao mesmo tempo em que não foram capazes de superar métodos mais simples, como os de regressão regularizada e SVM, de forma que o *trade-off* entre acurácia e tempo de processamento não foi justificado.
4. Foram investigadas três estratégias para obtenção do conjunto de treinamento dos modelos de reconciliação ótima por ML: o *rolling forecasting* (proposta em [Spiliotis et al. \(2021\)](#)), e outras duas adicionais propostas neste trabalho, a primeira utilizando os valores ajustados dos modelos de previsão base e a segunda utilizando os valores ajustados de modelos reestimados;
5. Não houve método ou estratégia que alcançasse consistentemente a melhor performance em todos os três estudos de caso, ou mesmo ao longo de todos os níveis hierárquicos de cada estudo de caso. Em geral, os métodos de ML obtiveram melhor resultados, ou



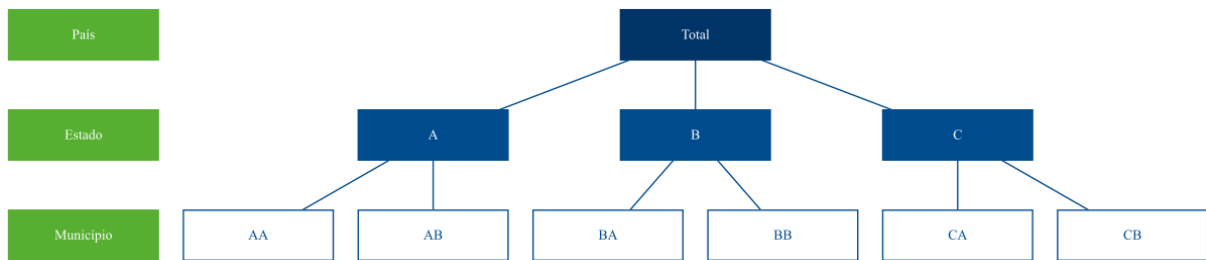
nos níveis mais desagregados, ou nos mais agregados, a depender do conjunto de dados analisado;

6. A combinação correta do método de ML e da estratégia para obtenção do conjunto treinamento pode resultar em até 91% de ganho de performance em relação aos métodos analíticos de reconciliação ótima.

## 2 RECONCILIAÇÃO DE SÉRIES TEMPORAIS HIERÁRQUICAS E AGRUPADAS

### 2.1 Notação algébrica

Séries temporais hierárquicas são aquelas que podem ser agregadas ou desagregadas naturalmente em uma estrutura aninhada (HYNDMAN; ATHANASOPOULOS, 2021). Para ilustrar, tome a série do PIB de um país fictício com três estados, cada um com dois municípios. Essa série pode ser desagregada por estado que, por sua vez, pode ser desagregada por município (Figura 1).



**Figura 1 – Séries Hierárquicas**

Essa estrutura pode ser representada através de equações para qualquer nível de agregação. Dessa forma, o agregado nacional pode ser descrito pelos agregados dos estados, Equação (1), ou como o agregado dos municípios, Equação (2). Já o agregado para o estado A é representado pela Equação (3).

$$y_t = y_{A,t} + y_{B,t} + y_{C,t} \quad (1)$$

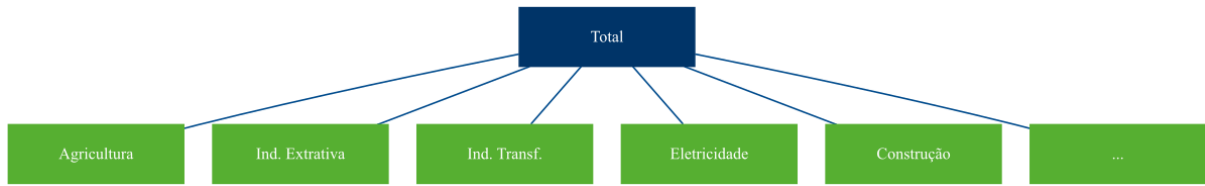
$$y_t = y_{AA,t} + y_{AB,t} + y_{BA,t} + y_{BB,t} + y_{CA,t} + y_{CB,t} \quad (2)$$

$$y_{A,t} = y_{AA,t} + y_{AB,t} \quad (3)$$

Alternativamente, podemos descrever a estrutura completa de forma matricial:

$$\begin{bmatrix} y_t \\ y_{A,t} \\ y_{B,t} \\ y_{C,t} \\ y_{AA,t} \\ y_{AB,t} \\ y_{BA,t} \\ y_{BB,t} \\ y_{CA,t} \\ y_{CB,t} \end{bmatrix}_{10 \times 1} = \begin{bmatrix} 1 & 1 & 1 & 1 & 1 & 1 \\ 1 & 1 & 0 & 0 & 0 & 0 \\ 0 & 0 & 1 & 1 & 0 & 0 \\ 0 & 0 & 0 & 0 & 1 & 1 \\ 1 & 0 & 0 & 0 & 0 & 0 \\ 0 & 1 & 0 & 0 & 0 & 0 \\ 0 & 0 & 1 & 0 & 0 & 0 \\ 0 & 0 & 0 & 1 & 0 & 0 \\ 0 & 0 & 0 & 0 & 1 & 0 \\ 0 & 0 & 0 & 0 & 0 & 1 \end{bmatrix}_{10 \times 6} \begin{bmatrix} y_{AA,t} \\ y_{AB,t} \\ y_{BA,t} \\ y_{BB,t} \\ y_{CA,t} \\ y_{CB,t} \end{bmatrix}_{6 \times 1} \quad (4)$$

Uma outra forma de desagregarmos o PIB é por atividade econômica — agricultura, indústrias extrativas, indústria de transformação, eletricidade e gás, construção etc (Figura 2). Essa estrutura não pode ser desagregada naturalmente de uma única maneira, como é a hierarquia de estados e municípios. Não pode ser aninhada por um atributo como a própria geografia. A esse tipo de estrutura dá-se o nome de *séries temporais agrupadas*.



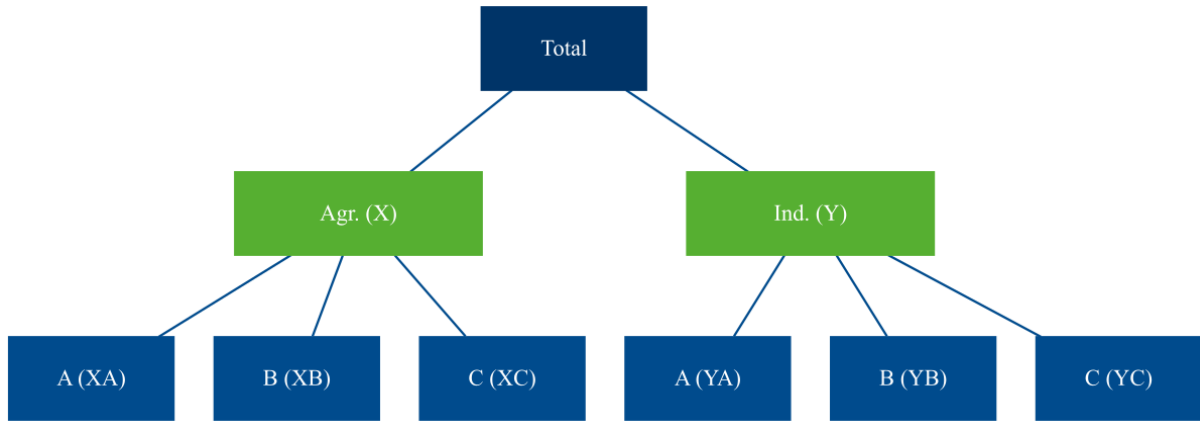
**Figura 2 – Séries Agrupadas**

Combinando as duas, temos a estrutura de séries hierárquicas agrupadas. Ao contrário da estrutura hierárquica, que só pode ser agregada de uma forma, como com os municípios abaixo dos estados<sup>3</sup>, a adição da estrutura agrupada pode ocorrer tanto acima (Figura 3) quanto abaixo (Figura 4) da hierárquica.

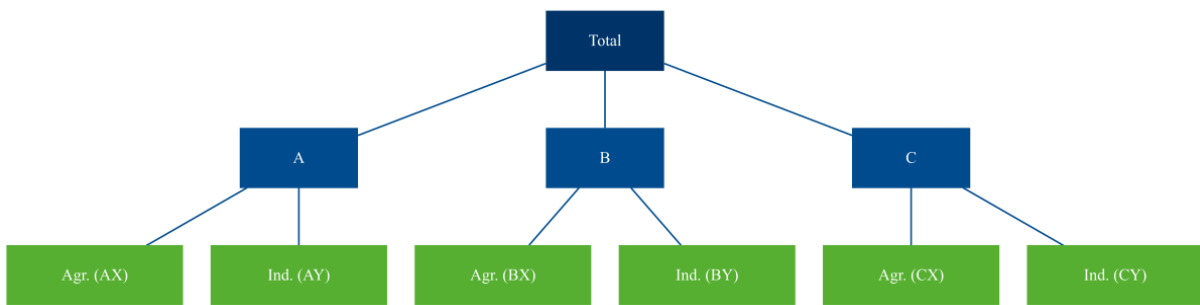
Na notação matricial, a estrutura da Figura 4 é representada como abaixo. Formalmente, o primeiro membro da igualdade é composto pelo vetor  $y_t$   $n$ -dimensional com todas as observações no tempo  $t$  para todos os níveis da hierarquia. O segundo membro é composto pela matriz de soma  $S$  de dimensão  $n \times m$  que define as equações para todo nível de agregação, e pelo vetor  $b_t$  composta pelas séries no nível mais desagregado.

$$y_t = Sb_t \quad (5)$$

<sup>3</sup> Essa estrutura é única no sentido que o somatório dos municípios totaliza o estado, mas não se pode somar estados para totalizar um município. Outro exemplo de estrutura hierárquica é a série de vendas de uma empresa: pode-se agregar as vendas de cada filial para obter o total, mas não o contrário.



**Figura 3** – Séries Hierárquicas Agrupadas (a)



**Figura 4** – Séries Hierárquicas Agrupadas (b)

$$\begin{bmatrix} y_t \\ y_{A,t} \\ y_{B,t} \\ y_{C,t} \\ y_{X,t} \\ y_{Y,t} \\ y_{AX,t} \\ y_{AY,t} \\ y_{BX,t} \\ y_{BY,t} \\ y_{CX,t} \\ y_{CY,t} \end{bmatrix}_{12 \times 1} = \begin{bmatrix} 1 & 1 & 1 & 1 & 1 & 1 \\ 1 & 1 & 0 & 0 & 0 & 0 \\ 0 & 0 & 1 & 1 & 0 & 0 \\ 0 & 0 & 0 & 0 & 1 & 1 \\ 1 & 0 & 1 & 0 & 1 & 0 \\ 0 & 1 & 0 & 1 & 0 & 1 \\ 1 & 0 & 0 & 0 & 0 & 0 \\ 0 & 1 & 0 & 0 & 0 & 0 \\ 0 & 0 & 1 & 0 & 0 & 0 \\ 0 & 0 & 0 & 1 & 0 & 0 \\ 0 & 0 & 0 & 0 & 1 & 0 \\ 0 & 0 & 0 & 0 & 0 & 1 \end{bmatrix}_{12 \times 6} \begin{bmatrix} y_{AX,t} \\ y_{AY,t} \\ y_{BX,t} \\ y_{BY,t} \\ y_{CX,t} \\ y_{CY,t} \end{bmatrix}_{6 \times 1} \quad (6)$$

## 2.2 Abordagens de nível único

As abordagens de nível único são aquelas em que as previsões são realizadas para um único nível hierárquico. A partir dessas previsões, os demais níveis são obtidos, ou desagregando (no caso dos níveis inferiores), ou agregando (no caso dos níveis superiores) essas previsões (HYNDMAN; ATHANASOPOULOS, 2021). Os métodos *top-down*, *bottom-up* e *middle-out* são abordagens de nível único.

Enquanto há apenas uma única forma de se agregar níveis na hierarquia (*bottom-up*), a desagregação (*top-down*) pode ser realizada de, ao menos, duas dezenas de maneiras (GROSS; SOHL, 1990). Dois dos métodos mais intuitivos são a média das proporções históricas e a proporção das médias históricas.

Na média das proporções históricas, cada proporção  $p_j$ , com  $j = 1, \dots, m$ , consiste em tomar a média das proporções da série desagregada  $y_{j,t}$  em relação ao agregado  $y_{1,t}$ :

$$p_j = \frac{1}{T} \sum_{t=1}^T \frac{y_{j,t}}{y_{1,t}} \quad (7)$$

Já a proporção das médias históricas consiste em tomar a proporção das médias das séries desagregadas em relação à média do agregado<sup>4</sup>.

$$p_j = \frac{\sum_{t=1}^T \frac{y_{j,t}}{T}}{\sum_{t=1}^T \frac{y_{1,t}}{T}} \quad (8)$$

Athanasopoulos, Ahmed e Hyndman (2009) desenvolvem o método proporções de previsão, que consiste em um método *top-down* em que os pesos são calculados a partir das proporções das previsões fora da amostra ao invés do passado. A vantagem do método é que os pesos estarão os mais próximos das características mais recentes da série, ao invés de serem baseados em dados históricos. A desvantagem é que se deve realizar previsões para toda a hierarquia, perdendo o ganho de agilidade dos demais métodos *top-down*.

$$p_j = \prod_{i=0}^{K-1} \frac{\hat{Y}_{j,t+h}^i}{\sum \hat{Y}_{j,t+h}^{(i+1)}}$$

Uma vez definida a forma e os pesos com os quais as previsões do agregado serão distribuídas nos níveis inferiores, podemos definir uma matriz com todos esses pesos, que, seguindo a formulação de Hyndman e Athanasopoulos (2021), chamamos de  $G$ :

$$G = \begin{bmatrix} p_1 & 0 & 0 & 0 & 0 & 0 & 0 & 0 & 0 & 0 \\ p_2 & 0 & 0 & 0 & 0 & 0 & 0 & 0 & 0 & 0 \\ p_3 & 0 & 0 & 0 & 0 & 0 & 0 & 0 & 0 & 0 \\ p_4 & 0 & 0 & 0 & 0 & 0 & 0 & 0 & 0 & 0 \\ p_5 & 0 & 0 & 0 & 0 & 0 & 0 & 0 & 0 & 0 \\ p_6 & 0 & 0 & 0 & 0 & 0 & 0 & 0 & 0 & 0 \end{bmatrix}_{6 \times 10} \quad (9)$$

<sup>4</sup> Isso é equivalente a tomar a proporção direta entre os somatórios das séries. Note que, pelas propriedades do operador de somatório,  $\sum_{t=1}^T \frac{y_t}{T} = \frac{y_1}{T} + \dots + \frac{y_T}{T} = \frac{y_1 + \dots + y_T}{T} = \frac{\sum_{t=1}^T y_t}{T}$ . Então, a equação Equação 8 pode ser simplificada para  $p_j = \frac{\sum_{t=1}^T y_{j,t}}{\sum_{t=1}^T y_{1,t}}$ .

$\mathbf{G}$  é uma matriz  $m \times n$  que multiplica o vetor  $\hat{\mathbf{y}}_{T+h|T}$  que chamamos de *previsões base*, isto é, as previsões individuais para todos os níveis de agregação. A equação para a abordagem *top-down* será, então:

$$\tilde{\mathbf{y}}_{T+h|T} = \mathbf{S}\mathbf{G}\hat{\mathbf{y}}_{T+h|T} \quad (10)$$

Na notação matricial para a estrutura da Figura 1, temos:

$$\begin{bmatrix} \tilde{y}_t \\ \tilde{y}_{A,t} \\ \tilde{y}_{B,t} \\ \tilde{y}_{C,t} \\ \tilde{y}_{AA,t} \\ \tilde{y}_{AB,t} \\ \tilde{y}_{BA,t} \\ \tilde{y}_{BB,t} \\ \tilde{y}_{CA,t} \\ \tilde{y}_{CB,t} \end{bmatrix}_{10 \times 1} = \mathbf{S}_{10 \times 6} \begin{bmatrix} p_1 & 0 & 0 & 0 & 0 & 0 & 0 & 0 & 0 & 0 \\ p_2 & 0 & 0 & 0 & 0 & 0 & 0 & 0 & 0 & 0 \\ p_3 & 0 & 0 & 0 & 0 & 0 & 0 & 0 & 0 & 0 \\ p_4 & 0 & 0 & 0 & 0 & 0 & 0 & 0 & 0 & 0 \\ p_5 & 0 & 0 & 0 & 0 & 0 & 0 & 0 & 0 & 0 \\ p_6 & 0 & 0 & 0 & 0 & 0 & 0 & 0 & 0 & 0 \end{bmatrix}_{6 \times 10} \begin{bmatrix} \hat{y}_{T+h|T} \\ \hat{y}_{A,T+h|T} \\ \hat{y}_{B,T+h|T} \\ \hat{y}_{C,T+h|T} \\ \hat{y}_{AA,T+h|T} \\ \hat{y}_{AB,T+h|T} \\ \hat{y}_{BA,T+h|T} \\ \hat{y}_{BB,T+h|T} \\ \hat{y}_{CA,T+h|T} \\ \hat{y}_{CB,T+h|T} \end{bmatrix}_{10 \times 1} \quad (11)$$

Multiplicando as matrizes  $\mathbf{G}$  e  $\hat{\mathbf{y}}$  obtemos o vetor  $\mathbf{b}_t^5$ , que contém as previsões para os níveis mais desagregados, agora definidas como proporção do total.

$$\begin{bmatrix} \tilde{y}_t \\ \tilde{y}_{A,t} \\ \tilde{y}_{B,t} \\ \tilde{y}_{C,t} \\ \tilde{y}_{AA,t} \\ \tilde{y}_{AB,t} \\ \tilde{y}_{BA,t} \\ \tilde{y}_{BB,t} \\ \tilde{y}_{CA,t} \\ \tilde{y}_{CB,t} \end{bmatrix}_{10 \times 1} = \mathbf{S}_{10 \times 6} \begin{bmatrix} p_1 \hat{y}_{T+h|T} \\ p_2 \hat{y}_{T+h|T} \\ p_3 \hat{y}_{T+h|T} \\ p_4 \hat{y}_{T+h|T} \\ p_5 \hat{y}_{T+h|T} \\ p_6 \hat{y}_{T+h|T} \end{bmatrix}_{6 \times 1} \quad (12)$$

Note que, por se tratar de um método *top-down*, é necessário apenas o primeiro elemento do vetor de previsões base, ou seja, a previsão do nível mais agregado (Equação 12). Sendo essa exatamente uma das vantagens do método *top-down*, na prática, podemos anular os demais elementos de  $\hat{\mathbf{y}}$ .

<sup>5</sup> Ver Equação 5.

$$\begin{bmatrix} \tilde{y}_t \\ \tilde{y}_{A,t} \\ \tilde{y}_{B,t} \\ \tilde{y}_{C,t} \\ \tilde{y}_{AA,t} \\ \tilde{y}_{AB,t} \\ \tilde{y}_{BA,t} \\ \tilde{y}_{BB,t} \\ \tilde{y}_{CA,t} \\ \tilde{y}_{CB,t} \end{bmatrix}_{10 \times 1} = \mathbf{S}_{10 \times 6} \begin{bmatrix} p_1 & 0 & 0 & 0 & 0 & 0 & 0 & 0 & 0 & 0 \\ p_2 & 0 & 0 & 0 & 0 & 0 & 0 & 0 & 0 & 0 \\ p_3 & 0 & 0 & 0 & 0 & 0 & 0 & 0 & 0 & 0 \\ p_4 & 0 & 0 & 0 & 0 & 0 & 0 & 0 & 0 & 0 \\ p_5 & 0 & 0 & 0 & 0 & 0 & 0 & 0 & 0 & 0 \\ p_6 & 0 & 0 & 0 & 0 & 0 & 0 & 0 & 0 & 0 \end{bmatrix}_{6 \times 10} \begin{bmatrix} \hat{y}_{T+h|T} \\ 0 \\ 0 \\ 0 \\ 0 \\ 0 \\ 0 \\ 0 \\ 0 \\ 0 \end{bmatrix}_{10 \times 1} \quad (13)$$

Substituindo a matriz  $\mathbf{S}$ , temos as equações que definem as previsões reconciliadas.

$$\begin{bmatrix} \tilde{y}_t \\ \tilde{y}_{A,t} \\ \tilde{y}_{B,t} \\ \tilde{y}_{C,t} \\ \tilde{y}_{AA,t} \\ \tilde{y}_{AB,t} \\ \tilde{y}_{BA,t} \\ \tilde{y}_{BB,t} \\ \tilde{y}_{CA,t} \\ \tilde{y}_{CB,t} \end{bmatrix}_{10 \times 1} = \begin{bmatrix} 1 & 1 & 1 & 1 & 1 & 1 \\ 1 & 1 & 0 & 0 & 0 & 0 \\ 0 & 0 & 1 & 1 & 0 & 0 \\ 0 & 0 & 0 & 0 & 1 & 1 \\ 1 & 0 & 0 & 0 & 0 & 0 \\ 0 & 1 & 0 & 0 & 0 & 0 \\ 0 & 0 & 1 & 0 & 0 & 0 \\ 0 & 0 & 0 & 1 & 0 & 0 \\ 0 & 0 & 0 & 0 & 1 & 0 \\ 0 & 0 & 0 & 0 & 0 & 1 \end{bmatrix}_{10 \times 6} \begin{bmatrix} p_1 \hat{y}_{T+h|T} \\ p_2 \hat{y}_{T+h|T} \\ p_3 \hat{y}_{T+h|T} \\ p_4 \hat{y}_{T+h|T} \\ p_5 \hat{y}_{T+h|T} \\ p_6 \hat{y}_{T+h|T} \end{bmatrix}_{6 \times 1} \quad (14)$$

Já a abordagem *bottom-up* parte do raciocínio inverso e define as previsões de cada elemento da estrutura a partir das previsões dos elementos mais desagregados. Para tanto, basta modificar a matriz  $\mathbf{G}$ .

$$\mathbf{G} = \begin{bmatrix} 0 & 0 & 0 & 0 & 1 & 0 & 0 & 0 & 0 & 0 \\ 0 & 0 & 0 & 0 & 0 & 1 & 0 & 0 & 0 & 0 \\ 0 & 0 & 0 & 0 & 0 & 0 & 1 & 0 & 0 & 0 \\ 0 & 0 & 0 & 0 & 0 & 0 & 0 & 1 & 0 & 0 \\ 0 & 0 & 0 & 0 & 0 & 0 & 0 & 0 & 1 & 0 \\ 0 & 0 & 0 & 0 & 0 & 0 & 0 & 0 & 0 & 1 \end{bmatrix}_{6 \times 10} \quad (15)$$

Portanto,  $\mathbf{G}$  define a abordagem — se *top-down*, *bottom-up* ou outro qualquer —, e  $\mathbf{S}$  define a maneira da qual as previsões são somadas para formar as equações de previsão para cada elemento da estrutura. Portanto, chamamos  $\mathbf{G}$  de matriz de reconciliação.

$$\begin{bmatrix} \tilde{y}_t \\ \tilde{y}_{A,t} \\ \tilde{y}_{B,t} \\ \tilde{y}_{C,t} \\ \tilde{y}_{AA,t} \\ \tilde{y}_{AB,t} \\ \tilde{y}_{BA,t} \\ \tilde{y}_{BB,t} \\ \tilde{y}_{CA,t} \\ \tilde{y}_{CB,t} \end{bmatrix}_{10 \times 1} = \begin{bmatrix} 1 & 1 & 1 & 1 & 1 & 1 \\ 1 & 1 & 0 & 0 & 0 & 0 \\ 0 & 0 & 1 & 1 & 0 & 0 \\ 0 & 0 & 0 & 0 & 1 & 1 \\ 1 & 0 & 0 & 0 & 0 & 0 \\ 0 & 1 & 0 & 0 & 0 & 0 \\ 0 & 0 & 1 & 0 & 0 & 0 \\ 0 & 0 & 0 & 1 & 0 & 0 \\ 0 & 0 & 0 & 0 & 1 & 0 \\ 0 & 0 & 0 & 0 & 0 & 1 \end{bmatrix}_{10 \times 6} \begin{bmatrix} \hat{y}_{AA,T+h|T} \\ \hat{y}_{AB,T+h|T} \\ \hat{y}_{BA,T+h|T} \\ \hat{y}_{BB,T+h|T} \\ \hat{y}_{CA,T+h|T} \\ \hat{y}_{CB,T+h|T} \end{bmatrix}_{6 \times 1} \quad (16)$$

Quando  $m$  — a quantidade de elementos do nível mais desagregado — é muito grande, tornando muito custoso obter  $\hat{\mathbf{y}}_t$ , e não se deseja uma abordagem estritamente *top-down*, pode-se combinar as duas formas:

$$\mathbf{G} = \begin{bmatrix} 0 & p_1 & 0 & 0 & 0 & 0 & 0 & 0 & 0 & 0 \\ 0 & p_2 & 0 & 0 & 0 & 0 & 0 & 0 & 0 & 0 \\ 0 & 0 & p_3 & 0 & 0 & 0 & 0 & 0 & 0 & 0 \\ 0 & 0 & p_4 & 0 & 0 & 0 & 0 & 0 & 0 & 0 \\ 0 & 0 & 0 & p_5 & 0 & 0 & 0 & 0 & 0 & 0 \\ 0 & 0 & 0 & p_6 & 0 & 0 & 0 & 0 & 0 & 0 \end{bmatrix}_{m \times n} \quad (17)$$

Esse método é chamado de *middle-out*. Nele, o vetor  $\mathbf{b}_t$  é reescrito como proporções de algum nível intermediário arbitrariamente escolhido, ao invés de proporções do total. Isso permite uma abordagem mais econômica, em termos de custo computacional e de tempo, ao mesmo tempo em que mantém em algum grau as características individuais das hierarquias.

$$\begin{bmatrix} \tilde{y}_t \\ \tilde{y}_{A,t} \\ \tilde{y}_{B,t} \\ \tilde{y}_{C,t} \\ \tilde{y}_{AA,t} \\ \tilde{y}_{AB,t} \\ \tilde{y}_{BA,t} \\ \tilde{y}_{BB,t} \\ \tilde{y}_{CA,t} \\ \tilde{y}_{CB,t} \end{bmatrix}_{n \times 1} = \begin{bmatrix} 1 & 1 & 1 & 1 & 1 & 1 \\ 1 & 1 & 0 & 0 & 0 & 0 \\ 0 & 0 & 1 & 1 & 0 & 0 \\ 0 & 0 & 0 & 0 & 1 & 1 \\ 1 & 0 & 0 & 0 & 0 & 0 \\ 0 & 1 & 0 & 0 & 0 & 0 \\ 0 & 0 & 1 & 0 & 0 & 0 \\ 0 & 0 & 0 & 1 & 0 & 0 \\ 0 & 0 & 0 & 0 & 1 & 0 \\ 0 & 0 & 0 & 0 & 0 & 1 \end{bmatrix}_{n \times m} \begin{bmatrix} p_1 \hat{y}_{A,T+h|T} \\ p_2 \hat{y}_{A,T+h|T} \\ p_3 \hat{y}_{A,T+h|T} \\ p_4 \hat{y}_{B,T+h|T} \\ p_5 \hat{y}_{B,T+h|T} \\ p_6 \hat{y}_{B,T+h|T} \end{bmatrix}_{m \times 1} \quad (18)$$

## 2.3 Coerência e reconciliação

Seja somando as previsões do nível mais desagregado para formar os níveis superiores da hierarquia (*bottom-up*) ou distribuindo proporcionalmente as previsões do nível mais agregado (*top-down*), o vetor  $\tilde{\mathbf{y}}_t$  representa as previsões *coerentes*. Isso significa que as previsões são totalizadas corretamente — as previsões de cada elemento agregado corresponde ao somatório das previsões dos níveis inferiores da hierarquia. Isso é garantido pela multiplicação das matrizes  $\mathbf{S}\mathbf{G}$ .

Não fosse essa pré-multiplicação, nada garantiria a coerência das previsões. Tomando a estrutura da Figura 1 como exemplo, seria um acaso improvável que as previsões do agregado para o estado do Espírito Santo fossem exatamente a soma das previsões individuais de seus municípios. Isso porque não há qualquer razão para que cada série siga o mesmo processo estocástico.

Os métodos para gerar previsões coerentes ( $\tilde{\mathbf{y}}_t$ ) a partir de previsões base ( $\hat{\mathbf{y}}_t$ ) são chamados de métodos de *reconciliação*. Os métodos de reconciliação tradicionais apresentados, *top-down* e *bottom-up*, utilizam informação limitada. No método *top-down*, utiliza-se apenas informações do nível mais agregado — por isso, apenas a primeira coluna em (Equação 9) é diferente de zero. Já na abordagem *bottom-up*, utiliza-se apenas as informações dos níveis mais desagregados, o que resulta na submatriz identidade  $m \times m$  (Equação 15), enquanto as colunas que representam os níveis mais agregados são nulas.

Alternativamente, podemos pensar numa matriz  $\mathbf{G}$  qualquer que utilize toda a informação disponível e tenha algumas propriedades que garantam que as previsões coerentes tenham o menor erro o possível. Esse é o problema de pesquisa trabalhado na *reconciliação ótima*.

Os métodos analíticos de reconciliação ótima são aqueles que estimam a matriz de reconciliação  $\mathbf{G}$  através de regressão linear. Isso resulta na redefinição das previsões do nível mais desagregado como uma combinação linear<sup>6</sup> das previsões de todos os elementos de todos os níveis da hierarquia, utilizando, assim, toda a informação disponível.

A primeira abordagem prática para reconciliação ótima, via MQO, é formalizada apenas em Hyndman, Ahmed et al. (2011). Hyndman, Lee e Wang (2016) tentam aperfeiçoar o método usando as variâncias das previsões individuais estimadas (dentro da amostra) como estimativa para a matriz de variância-covariância dos erros de reconciliação, de forma a utilizá-las como pesos e realizar a reconciliação ótima por mínimos quadrados ponderados (MQP).

Wickramasuriya, Athanasopoulos e Hyndman (2019) argumentam que o que de fato interessa é que as previsões reconciliadas tenham o menor erro. Então, corrigem a abordagem de reconciliação ótima para o objetivo de minimização dos erros das previsões reconciliadas  $\tilde{\mathbf{y}}_{t+h}$ , ao invés dos erros das previsões individuais  $\hat{\mathbf{y}}_{t+h}$ . Dado que isso implica na minimização da variância de  $\tilde{\mathbf{e}}_{t+h}$ , ou seja, na minimização do somatório da diagonal, o traço, da matriz de

<sup>6</sup> Por essa razão, esses métodos são também chamados de métodos de combinação.



variância-covariância de  $\tilde{\mathbf{e}}_{t+h}$ , eles chamaram esse método de Traço Mínimo (MinT, na sigla em inglês).

Este método é considerado o estado-da-arte para a reconciliação ótima analítica. Nele, o objetivo é minimizar o erro das previsões reconciliadas:

$$\tilde{\mathbf{e}}_{t+h|t} = \mathbf{y}_{t+h} - \tilde{\mathbf{y}}_{t+h|t} \quad (19)$$

Essa equação pode ser reescrita como  $\tilde{\mathbf{e}}_t = \mathbf{S}\mathbf{G}\hat{\mathbf{e}}_t$ , que tem variância dada por<sup>7</sup>

$$\text{Var}[\tilde{\mathbf{e}}] = \mathbf{S}\mathbf{G}\hat{\mathbf{W}}_{t+h|t}\mathbf{G}'\mathbf{S}' \quad (20)$$

em que  $\hat{\mathbf{W}}_{t+h|t}$  é a matriz de variância-covariância dos erros de previsão base.

A abordagem consiste então em se obter um valor de  $\mathbf{G}$  que minimize o traço de  $\text{Var}[\mathbf{y}_{t+h} - \tilde{\mathbf{y}}_{t+h|t}]$ . Isso resultaria no melhor (variância mínima) estimador linear não viesado<sup>8</sup> (WICKRAMASURIYA; ATHANASOPOULOS; HYNDMAN, 2019). Sua solução é dada por

$$\mathbf{G} = (\mathbf{S}'\hat{\mathbf{W}}_{t+h|t}^\dagger\mathbf{S})^{-1}\mathbf{S}'\hat{\mathbf{W}}_{t+h|t}^\dagger \quad (21)$$

em que  $\hat{\mathbf{W}}_{t+h|t}^\dagger$  é a inversa generalizada de Moore-Penrose para  $\hat{\mathbf{W}}_{t+h|t}$ <sup>9</sup>. Essa formulação corresponde a um problema de regressão por mínimos quadrados generalizados, considerando  $\mathbf{S}$  como a matriz de preditores e  $\mathbf{G}$  os coeficientes a serem estimados. Consequentemente, as previsões ótimas reconciliadas são dadas por

$$\tilde{\mathbf{y}}_{t+h|t} = \mathbf{S}(\mathbf{S}'\hat{\mathbf{W}}_{t+h|t}^\dagger\mathbf{S})^{-1}\mathbf{S}'\hat{\mathbf{W}}_{t+h|t}^\dagger\hat{\mathbf{y}}_{t+h|t} \quad (22)$$

que são ao menos tão boas quanto as previsões individuais, de acordo com o demonstrado pelos autores.

Spiliotis et al. (2021) propõem a utilização de *machine learning* para a reconciliação ótima de séries temporais, especificamente os métodos de RF e *gradient boosting*. A ideia subjacente é treinar modelos individuais de ML para cada série do nível mais desagregado a partir de previsões para dentro da amostra obtidas via *rolling forecasting*, com o objetivo de encontrar a combinação contemporânea que minimiza os erros, para então usar esses modelos para combinar as previsões base. Os autores descrevem como vantagens desse método em relação aos anteriores a descrição de relacionamentos não lineares, performance preditiva e a desnecessidade da utilização de todos os elementos da hierarquia na combinação ótima. Para o conjunto de

<sup>7</sup> Ver demonstração A.3.

<sup>8</sup> A ausência de viés é garantida pela condição de ausência de viés em  $\tilde{\mathbf{y}}$ .

<sup>9</sup> A necessidade da inversa generalizada aqui é trivial, uma vez que a inversa regular, do tipo  $\mathbf{A}^{-1}$ , requer matriz quadrada, o que não acontece no caso de séries temporais hierárquicas, uma vez que, necessariamente, tem-se  $n > m$  ( $n = m + \text{número de nós de agregação}$ ). Além disso,  $\hat{\mathbf{W}}$  é posto incompleto (ver demonstração A.4).

dados utilizados, os autores afirmam que o uso de ML, especialmente o XGB, permite alcançar maior performance em relação às abordagens de nível único e o MinT.

[Panagiotelis et al. \(2021\)](#) reinterpreta a literatura de coerência e reconciliação de previsões pontuais a partir de uma abordagem geométrica, trazendo provas alternativas para conclusões anteriores ao mesmo tempo em que fornece novos teoremas. Além disso, os autores estendem essa interpretação geométrica para o contexto probabilístico, fornecendo métodos paramétricos e não paramétricos (via *bootstrapping*) para reconciliação de previsões probabilísticas.

[Shiratori, Kobayashi e Takano \(2020\)](#) propõem a utilização de um termo de regularização para penalizar o erro dos níveis superiores na previsão das séries do nível mais desagregado, de forma a obter as previsões base já com a informação dos níveis superiores, substituindo a abordagem de combinação ótima. Assim como nas demais abordagens, a coerência é obtida através de agregação BU.

Uma revisão sistemática descrevendo os avanços e diferentes abordagens para reconciliação de previsões hierárquicas pode ser encontrada em [Athanasopoulos, Hyndman, Kourentzes e Panagiotelis \(2023\)](#). Isto posto, a presente dissertação foca em estender a abordagem de combinação ótima por ML, realizada em trabalhos como de [Spiliotis et al. \(2021\)](#), para a reconciliação de séries temporais hierárquicas e agrupadas, avaliando a efetividade de 7 implementações de métodos de ML (RF, XGB, *Lasso*, *ridge*, *elastic net*, SVM e LGBM), propondo variações metodológicas para a obtenção do conjunto de treinamento dos modelos de ML e obtendo ganhos significativos de performance em três estudos de caso.

## 3 ESTENDENDO O FRAMEWORK DE COMBINAÇÃO ÓTIMA VIA MACHINE LEARNING

### 3.1 Introdução

A ideia da reconciliação de previsões por combinação consiste em encontrar combinações, lineares ou não, que minimizem o erro de combinação contemporânea dentro da amostra e tenham o menor erro de generalização para o conjunto de previsões base, incoerentes, para fora da amostra. O objetivo é que, dada a performance das previsões base individuais  $\hat{y}_t$ , as previsões reconciliadas  $\tilde{y}_t$ , obtidas por combinação e agregadas de maneira BU, se tornem mais precisas por conta da incorporação de informações dos diferentes níveis hierárquicos e demais nós da estrutura.

Embora os métodos de ML também sejam utilizados no contexto de previsão de séries temporais, é importante ressaltar que este não é caso deste trabalho. As previsões de séries temporais são realizadas anteriormente, na obtenção das previsões base  $\hat{y}_t$ . Nada impede que essas previsões sejam obtidas por métodos de ML, inclusive utilizando técnicas de

previsão hierárquica na predição de séries individuais (ATHANASOPOULOS; HYNDMAN; KOURENTZES; PETROPOULOS, 2017), entretanto, a aplicação dos métodos de ML aqui ocorrem na reconciliação, ou seja, na combinação contemporânea, *cross section*, das previsões base que, por sua vez, podem ter sido obtidas através de qualquer método.

Nesse sentido, este trabalho busca estender o *framework* de combinação ótima utilizando métodos de ML para a reconciliação de séries temporais hierárquicas e agrupadas. Além de avaliar 7 implementações de métodos de ML (RF, XGB, *Lasso*, *ridge*, *elastic net*, SVM e LGBM)<sup>10</sup>, propõe variações metodológicas para a obtenção do conjunto de treinamento dos modelos de ML.

### 3.2 Metodologia de combinação ótima via machine learning

Spiliotis et al. (2021) propõem estimar essa combinação em uma abordagem que constitui-se nas seguintes etapas:

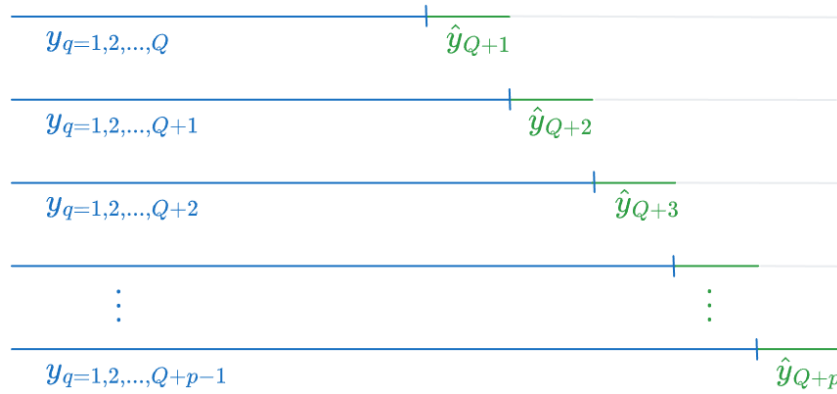
1. Previsões base: Para cada série  $y_t$ , incluindo os nós de agregação, utiliza-se todo o conjunto de treinamento, de tamanho  $T$ , para produzir previsões  $h$  passos à frente,  $\hat{y}_{t+h|T}$ , utilizando qualquer método de previsão. Essas são as previsões base a serem reconciliadas.



**Figura 5** – Previsões base a serem reconciliadas. Em azul, o conjunto de treino e, em verde, as previsões  $h$  passos à frente para fora da amostra.

2. *Rolling forecast*: A amostra treino é separada em  $p$  subamostras para todas as séries em todos os níveis de agregação, com a primeira separação abrangendo  $y_1$  até  $y_Q$ , a segunda  $y_1$  até  $y_{Q+1}$  e assim sucessivamente até a última separação abrangendo  $y_1$  até  $y_{Q+p-1}$ . Para cada subamostra é treinado um modelo que, mais uma vez, pode ser estimado utilizando qualquer método. Então, é realizada previsão um passo a frente. Essas previsões são então concatenadas para formar o conjunto de treinamento para os modelos de ML.
3. Treino dos modelos de ML: Para cada série do nível mais desagregado,  $y_m$ , é treinado um modelo de ML com  $n + 1$  variáveis, compostas pelas  $n$  séries previstas — que incluem todos os níveis de agregação —, mais a própria  $y_m$  como variável explicada (Tabela 1). Cada uma das  $n$  séries contam com  $p$  previsões obtidas no passo 2, representadas na Figura 6 pela cor verde. Isso resulta em um modelo de reconciliação ótima para cada

<sup>10</sup> Uma breve introdução sobre cada um desses métodos pode ser encontrado no Apêndice B.



**Figura 6** – Esquema de modelagem *rolling forecast*

elemento do menor nível da hierarquia, combinando informações disponíveis de todos os níveis hierárquicos.

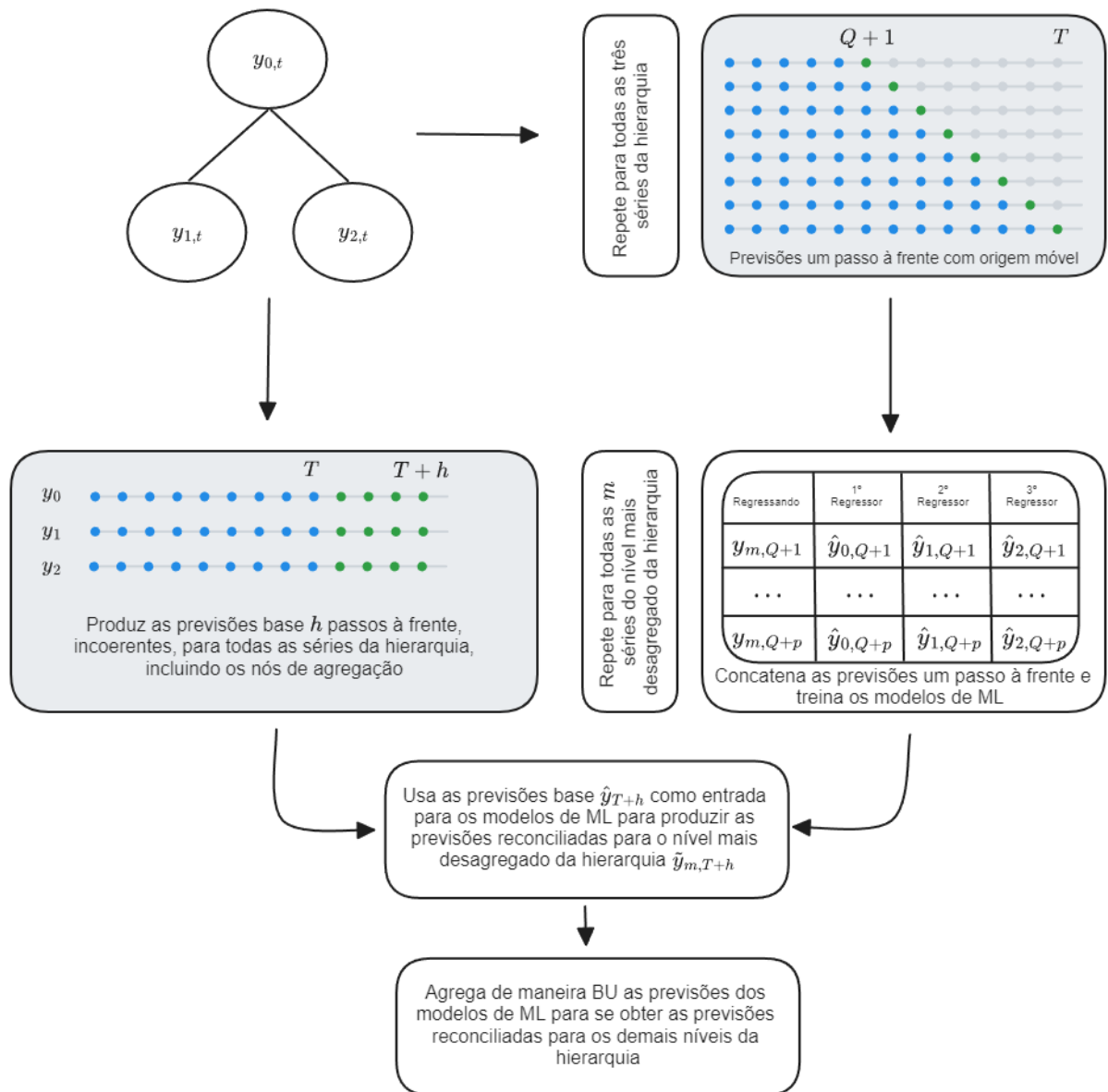
**Tabela 1** – Conjunto de treinamento para predição dos modelos de ML

Var. Explicada	Variável 1	Variável 2	...	Variável n
$y_{1,Q+1}$	$\hat{y}_{1,Q+1}$	$\hat{y}_{2,Q+1}$	...	$\hat{y}_{n,Q+1}$
$y_{1,Q+2}$	$\hat{y}_{1,Q+2}$	$\hat{y}_{2,Q+2}$	...	$\hat{y}_{n,Q+2}$
...	...	...	...	...
$y_{m,Q+p}$	$\hat{y}_{1,Q+p}$	$\hat{y}_{2,Q+p}$	...	$\hat{y}_{n,Q+p}$

4. Reconciliação ótima: Com os modelos treinados no passo 3, passa-se as previsões base obtidas no passo 1 como regressores para se obter as previsões reconciliadas  $h$  passos à frente das séries do nível mais desagregado  $\tilde{y}_m$ .
5. Agregação: Assim como nos métodos analíticos de combinação ótima, a obtenção das previsões reconciliadas para os demais níveis de hierárquicos  $\tilde{y}_n$  se dá através da agregação BU, mas ao invés de se somar as previsões base  $\hat{y}_m$ , somam-se as previsões reconciliadas  $\tilde{y}_m$ .

Dessa forma, essa metodologia é semelhante à aplicada na reconciliação ótima analítica, se afastando principalmente em três pontos: (i) a utilização de algoritmos de ML ao invés de MQG, (ii) a não atribuição de peso de forma obrigatória para todos os nós da hierarquia e (iii) no ajuste de um modelo individual para cada série do nível mais desagregado, permitindo maior especialização e sendo capaz de se adaptar melhor aos diferentes padrões de cada série (SPILIOTIS et al., 2021). A

Um ponto negativo na metodologia proposta por Spiliotis et al. (2021) é o processo de *rolling origin* (passo 1). Estimar um modelo para cada conjunto de treinamento sequencialmente em um cenário de largas hierarquias e diversos grupos pode ser muito custoso em tempo de processamento. No caso do banco de dados Estban, temos 79 agências e 2 verbetes, totalizando

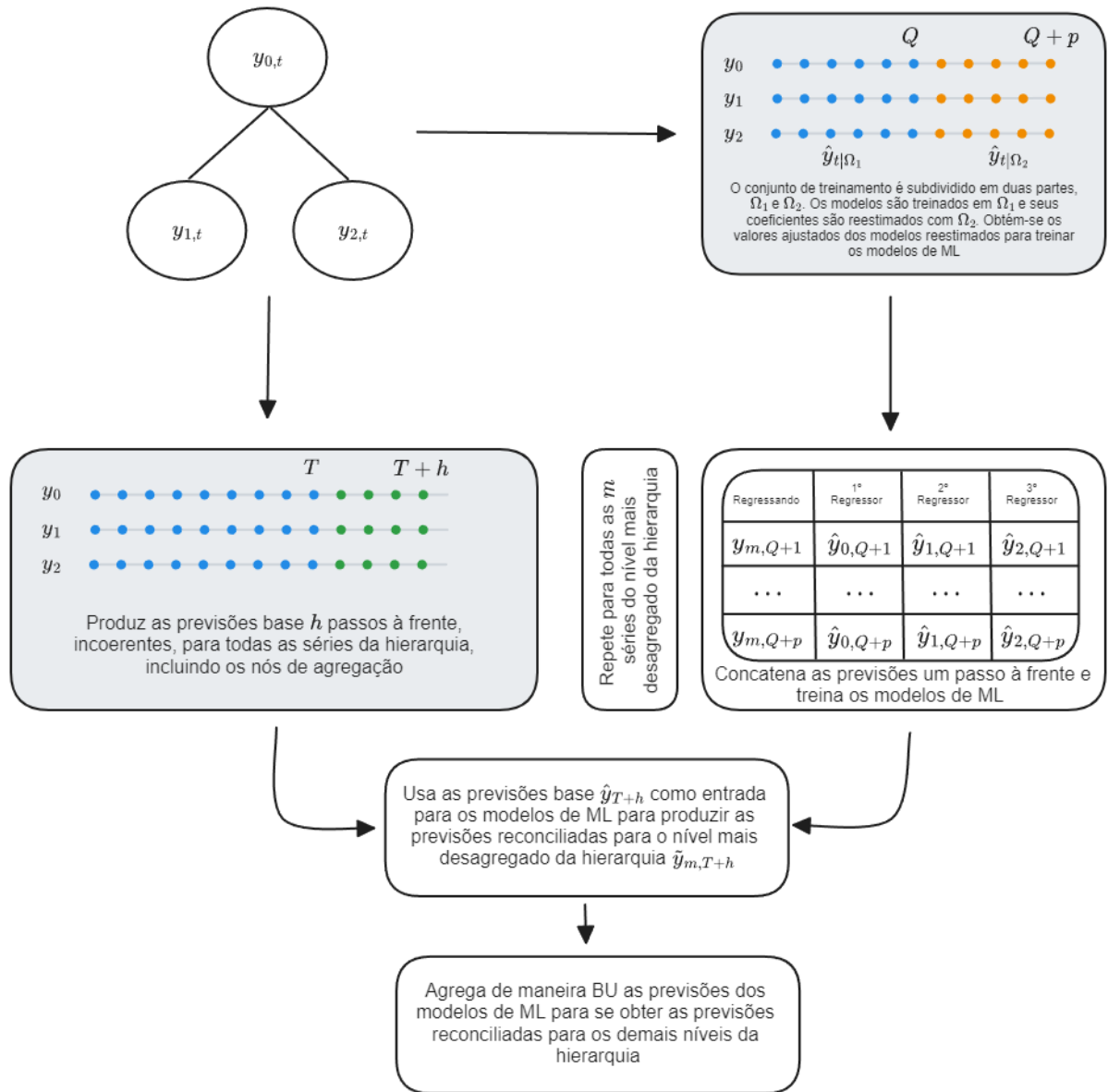


**Figura 7** – Metodologia de combinação ótima via ML. Estratégia *rolling forecast* (Fonte: Spiliotis et al. (2021))

158 séries a serem estimadas. Para cada uma delas, devem ser ajustados  $p$  modelos, somando ao todo 17.064 modelos.

Nesse sentido, uma alternativa é o processo de reestimação, que consiste na reestimação de um modelo para um novo conjunto de dados. Nessa estratégia, que chamaremos de *reduced fitted values*, os  $m$  modelos são treinados até  $Q$  e então reajustados para o restante do conjunto de dados  $[Q, Q + p]$ , se esquivando do processo de *rolling origin*. Uma restrição dessa abordagem é que, fixados os hiperparâmetros anteriores, não necessariamente todos modelos alcançarão convergência no reajuste de seus coeficientes para o novo conjunto de dados.

As duas estratégias possuem uma fragilidade em comum: a necessidade de realização de previsões para dentro do conjunto de treinamento. Isso pode ser um problema para séries temporais com poucas observações ou incompletas. No caso da base de dados Estban, algumas



**Figura 8** – Metodologia de combinação ótima via ML. Estratégia *reduced fitted base*

das agências foram criadas após o período escolhido para a separação do conjunto de treino em  $Q$  (dezembro/2012), sendo necessário sua exclusão do dataset e invalidando o uso da metodologia para essas unidades.

Nesses casos, uma 3ª estratégia para permitir o uso dos métodos de ML é usar os valores ajustados dos modelos das previsões base  $\hat{y}$  (seção 4.4) como input para os modelos de ML. Isso significa usar previsões 1 passo à frente obtidas ao longo de todo o período  $q = 1, 2, 3, \dots, Q + p$ . Além de permitir a inclusão de séries incompletas — agências criadas durante o período, no caso da base de dados Estban —, essa abordagem também aumenta o tamanho da amostra treino em  $Q$  observações, o que pode melhorar a performance dos modelos de ML. Chamaremos essa estratégia de *fitted base*.

A maior parte dos métodos de *machine learning* são altamente parametrizáveis,

sendo sua performance de generalização (para fora da amostra) sensível à escolha de seus hiperparâmetros. Quando disponível, os hiperparâmetros a serem otimizados e seus espaços de busca seguiram a recomendação em (BISCHL; BINDER et al., 2021).

Os conjuntos de hiperparâmetros e seus intervalos são apresentados no Apêndice C. Para a otimização, foram utilizadas dois calibradores: (i) busca em grade (com resolução de 10 combinações), mais custoso em tempo de processamento, para os métodos com menor quantidade de hiperparâmetros a serem otimizados, e (ii) otimização bayesiana (na configuração padrão do pacote {mlr3MBO}), mais eficiente para os métodos com maior quantidade de hiperparâmetros. A estratégia de reamostragem utilizada foi a validação cruzada  $k$ -fold com  $k = 10$ .

A otimização bayesiana foi usada em todos os métodos, exceto no *elastic net*, uma vez que apenas um (no caso do *lasso* e *ridge*) ou dois hiperparâmetros foram otimizados. A medida de performance utilizada para a otimização foi a raiz do erro quadrático médio (*root mean squared error* — RMSE).

Por fim, cada modelo foi calibrado individualmente, ou seja, em todos os estudos de caso, cada nó possui um conjunto de hiperparâmetros otimizados para cada um dos 7 métodos de ML empregados para reconciliação ótima.

### 3.3 O processo de ajuste e sobreajuste

Considere uma função de ajuste  $f$ , um conjunto de pontos  $D = d_1, \dots, d_n$  com  $d_i = (\mathbf{x}_i \ y_i)'$ , variáveis de decisão ou parâmetros  $\mathbf{x}_i \in \mathbb{R}^m$  e imagem  $y_i = f(\mathbf{x}_i) \in \mathbb{R}$ . Diferentemente da abordagem do modelo clássico de regressão linear em que, cumpridas certas hipóteses, há um modelo teórico de coeficientes estimados por mínimos quadrados ordinários (MQO) que é garantido pelo teorema de Gauss-Markov ser o melhor estimador linear não viesado (BLUE), em *machine learning* o objetivo é encontrar, de forma iterativa, um modelo que melhor aproxima a função  $f$  usando a informação contida em  $D$ , ou seja, queremos ajustar uma função de regressão  $\hat{f}_D$  aos nossos dados  $D$  de forma que  $\hat{\mathbf{y}} = \hat{f}_D(\mathbf{x}, \varepsilon)$  tenha o menor erro de aproximação  $\varepsilon$  (BISCHL; MERSMANN et al., 2012).

Para verificar o quão bem o modelo  $\hat{f}_D$  se aproxima da função real  $f$ , é necessário uma função de perda  $L(\mathbf{y}, \hat{f}(\mathbf{x}))$  que, no caso de regressão, será a perda quadrática  $(\mathbf{y} - \hat{f}(\mathbf{x}))^2$  ou a perda absoluta  $|\mathbf{x} - \hat{f}(\mathbf{x})|$ . Esses valores são agregados pela média para formar as funções de custo erro médio quadrático (MSE) e erro médio absoluto (MAE).

Calculando o custo sobre a amostra  $D$  usada para ajustar o modelo, teremos o chamado erro de resubstituição (Equação 23). Nesse caso, estaríamos usando o mesmo conjunto de dados tanto para treinar o preditor quanto para estimar o erro, o que nos levaria a uma estimativa enviesada do erro de generalização. Caso usássemos essa estimativa para seleção de modelos, esse viés favoreceria modelos mais adaptados à amostra.

$$\widehat{GE}(\hat{f}_D, D) = \sum_{(x, y)' \in D} \frac{L(y, \hat{f}_D(x))}{|D|} \quad (23)$$

Dadas suficientes iterações, o erro de resubstituição tende a zero. Isso acontece porque conforme o preditor se adapta cada vez mais aos dados de treinamento ele irá memorizar a relação entre o conjunto de pontos  $D$  e a imagem  $f(\mathbf{x}_i)$ , ou seja, irá se ajustar perfeitamente ao formato da função a ser modelada. E não necessariamente um modelo perfeitamente ajustado se traduz na capacidade de predição de dados futuros (fora da amostra). De forma geral, espera-se que o preditor reduza seu viés durante o treino apenas o suficiente para que seja capaz de generalizar sua predição para fora da amostra em um nível ótimo de acurácia. A partir desse ponto, a redução no viés é penalizada com o aumento da variância, ou seja, com a redução de sua capacidade de prever dados futuros. A esse processo se dá o nome de *overfitting* ou sobreajuste. Isso quer dizer que não podemos considerar a performance do preditor em  $D$  se desejamos estimar honestamente a performance real do modelo (BISCHL; MERSMANN et al., 2012).

### 3.4 Reamostragem

Uma forma de se corrigir esse problema é dividindo a amostra em um conjunto para treino  $D^\phi$  e outro conjunto para teste  $D^\theta$  de forma que  $D^\phi \cup D^\theta = D$  e  $D^\phi \cap D^\theta = \emptyset$ . Assim, pode-se treinar um meta-modelo em  $D^\phi$  para se obter  $\hat{f}_{D^\phi}$  e calcular seu erro de generalização usando os dados de  $D^\theta$ . Essa abordagem é chamada de *hold-out* e ela é de simples implementação e utilização, uma vez que as observações do conjunto teste são completamente independentes das observações com as quais o modelo foi treinado. Então, podemos estimar o erro de generalização do modelo, que consiste no cômputo do custo de  $\hat{f}_{D^\phi}$  aplicada à amostra de teste  $D^\theta$ .

$$\widehat{GE}(\hat{f}_{D^\phi}, D^\theta) = \sum_{(x, y)' \in D^\theta} \frac{L(y, \hat{f}_{D^\phi}(x))}{|D^\theta|} \quad (24)$$

Como esse método mais simples pode não ser suficiente para detectar a variância e instabilidade de modelos mais complexos, foram desenvolvidas diferentes técnicas de reamostragem ao longo do tempo. Uma das mais populares é a validação cruzada (STONE, 1974), que consiste em gerar repetidamente  $i$  subconjuntos de treino  $D_i^\phi$  e teste  $D_i^\theta$  com o conjunto de dados disponível, ajustar um meta-modelo com cada conjunto de treino e atestar sua qualidade no conjunto de teste correspondente. A estimativa do erro de generalização então se torna:

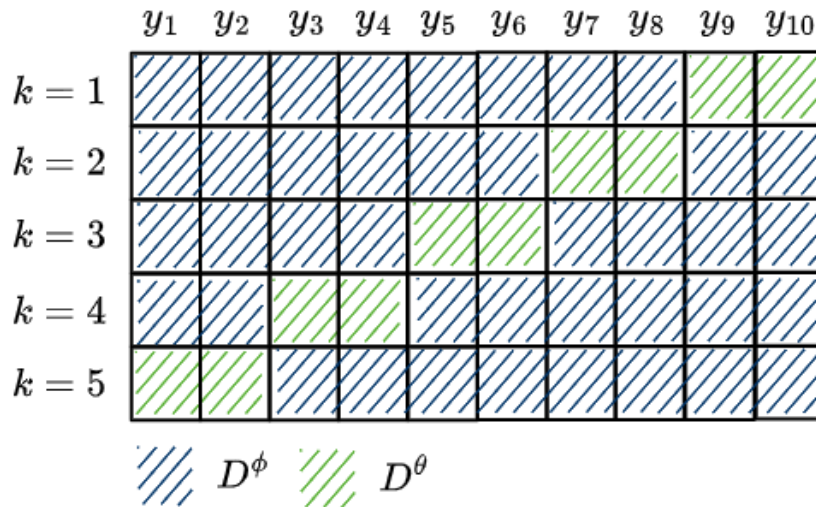
$$\widehat{GE} = \frac{1}{k} \sum_{i=1}^k \widehat{GE}(\hat{f}_{D_i^\phi}, D_i^\theta) \quad (25)$$



Dividindo a amostra em  $k$  subconjuntos, utilizando  $k - 1$  para ajustar um meta-modelo e validando a performance no subconjunto restante — e repetindo esse procedimento para todas as possibilidades de subconjuntos —, temos a validação cruzada  $k$ -fold. Esta é uma técnica de reamostragem que permite estimar o erro de generalização de um modelo de forma mais robusta e confiável que o *hold-out* simples. Isso porque, ao contrário do *hold-out*, a validação cruzada permite que todos os dados sejam usados tanto para treino quanto para teste, o que reduz a variância da estimativa do erro de generalização.

### 3.5 Validação cruzada $k$ -fold em séries temporais

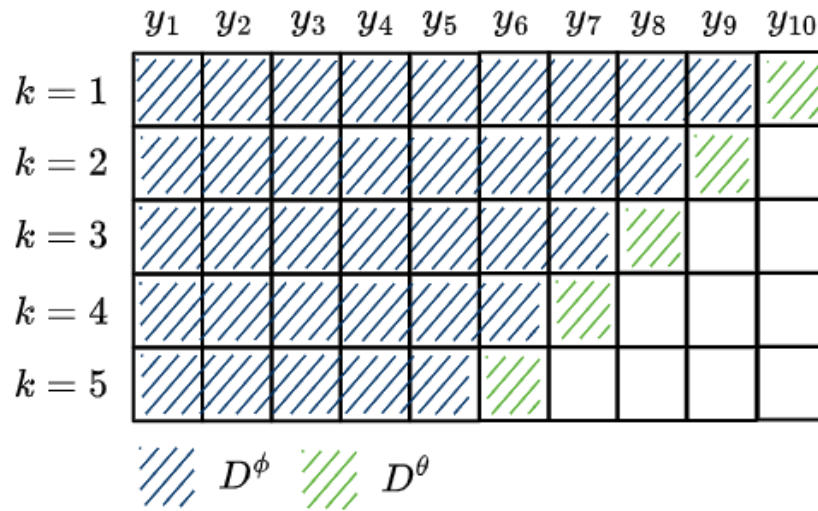
Para dados *cross-section*, essa definição de validação cruzada  $k$ -fold é suficiente para qualquer caso. Entretanto, no caso de séries temporais, o analista deve tomar alguns cuidados na escolha da abordagem de validação cruzada. Isso porque, ao contrário de dados *cross-section*, os dados de séries temporais são dependentes no tempo. Isso traz dois aparentes problemas: primeiramente, ao dividir a amostra em  $k$  subconjuntos aleatórios, o meta-modelo será treinado em períodos descontínuos e com dados futuros aos dados de teste em, ao menos,  $k - 1$  subconjuntos. Em segundo lugar, realizando o *split* treino-teste em  $y_t$ , com  $y_{t-1}$  na amostra treino, significa que os subconjuntos de treino e teste são dependentes (Figura 9).



**Figura 9** – Validação  $k$ -fold aleatória

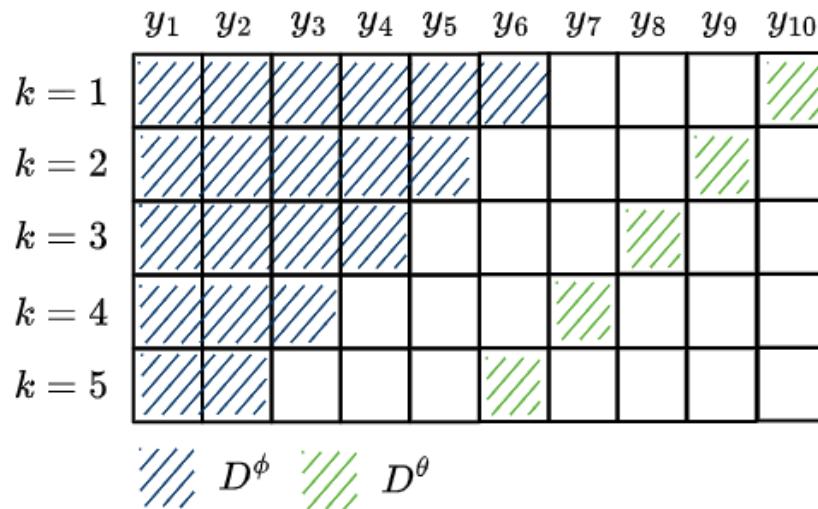
Para contornar esse problema, outros métodos de validação cruzada foram desenvolvidos pensando em séries temporais. Tomando o conjunto de validação com dados exclusivamente posteriores aos dados de treino, temos o método conhecido como validação cruzada com origem móvel (Figura 10).

Já quando excluimos as defasagens dependentes do subconjunto de treino (em relação ao conjunto de validação), temos a validação cruzada não dependente (Figura 11). Para ilustrar esse caso, tome um processo AR(3). Excluir as defasagens dependentes significa que, se o conjunto de validação começa em  $y_t$ , então o conjunto de treino pode apenas ir até  $y_{t-4}$ . O problema



**Figura 10** – Validação  $k$ -fold com origem móvel

evidente dessa abordagem é que, dependendo do tamanho da estrutura de autocorrelação da série, muitas defasagens são excluídas, podendo inviabilizar o processo de validação.



**Figura 11** – Validação  $k$ -fold não-dependente

Cumpridas algumas restrições, esses problemas são apenas aparentes. [Bergmeir e Benítez \(2012\)](#) comparam uma série de métodos de validação em séries temporais e concluem que, considerando séries estacionárias, os problemas teóricos relacionados à dependência não produzem impactos empíricos. [Bergmeir, Hyndman e Koo \(2018\)](#) vão além e abordam esse problema teórica e empiricamente, concluindo que não apenas é possível o uso de validação cruzada  $k$ -fold quando a série não apresenta autocorrelação serial nos resíduos, mas também é uma melhor escolha do que a validação fora da amostra<sup>11</sup>.

Entretanto, no mundo real, trabalhando com uma longa coleção de séries temporais hi-

<sup>11</sup> *Out-of-sample evaluation* é o método padrão na literatura de séries temporais e consiste na separação da porção final da série — geralmente entre 20% e 30% — para validação.

erárquicas agrupadas, raramente será o caso em que a totalidade das séries são estacionárias. Nesse sentido, é razoável supor que, mesmo que o método de reconciliação via combinação ótima trate da combinação contemporânea das previsões, se a média das séries estão se alterando ao longo do tempo, a combinação ótima entre elas também possa se alterar. Por isso um processo de validação cruzada que não suponha estacionariedade pode ser mais adequado.

Por essa razão, a metodologia proposta contará, além da validação cruzada  $k$ -fold, com a validação cruzada com origem móvel. Para tanto, é necessário definir uma janela mínima para  $D^\phi$  e um horizonte para o conjunto de teste  $D^\theta$ . Esses parâmetros devem ser escolhidos de acordo com as características do conjunto de dados trabalhado. Por brevidade, utilizou-se janela mínima de 5 anos e  $|D^\theta| = 12$ , compatíveis com os estudos de caso desenvolvidos.

### 3.6 Conclusão

[Escrever um parágrafo resumindo o que foi desenvolvido aqui]

## 4 PREVISÃO DE SALDOS DE EMPRÉSTIMOS E FINANCIAMENTOS DO BANCO DO ESTADO DO ESPÍRITO SANTO

### 4.1 Introdução

Embora no séc. XX ainda houvesse espaço para uma gestão guiada apenas por instinto (WALLANDER, 1999), atualmente é impensável um banco não realizar previsões de seus resultados e comunicar suas expectativas ao mercado. Nesse documento, ou *guidance*, a projeção da carteira de crédito — o total de empréstimos e financiamentos, dentre outros itens — é frequentemente a primeira informação fornecida. Juntamente com as projeções de depósitos, provisões para créditos de liquidação duvidosa, eficiência operacional, entre outros indicadores-chave, essas projeções determinam a temperatura das expectativas da instituição, e isso é essencial para os acionistas e investidores. Essas projeções precisam ser tão precisas quanto possível para que se possa calcular o risco de transacionar com a instituição financeira.

Ainda que não existam penalidades específicas para instituições financeiras que erram (por uma boa margem) em suas projeções, elas podem sofrer consequências negativas em outros aspectos, como na avaliação de seus desempenhos por parte dos investidores e clientes. Estes podem considerar as projeções equivocadas como um sinal de falta de competência ou confiança na instituição financeira, o que pode afetar negativamente a reputação e a imagem da instituição.

Além disso, nos casos em que algum grupo se sentir lesado, os bancos podem enfrentar ações judiciais se suas projeções forem consideradas enganosas ou fraudulentas. Por exemplo, se uma instituição financeira fizer projeções excessivamente otimistas para incentivar os investi-

dores a comprar seus títulos e, posteriormente, as projeções se mostrarem incorretas, ela pode ser acusada de fraude<sup>12</sup> ou, ao menos, gestão temerária<sup>13</sup> — ambos caracterizados como crime contra o Sistema Financeiro Nacional (SFN).

Por isso, é importante que as instituições financeiras sejam transparentes e precisas em suas projeções, fornecendo informações confiáveis e atualizadas para seus clientes e investidores. No entanto, há também motivações estratégicas para essa atividade. [Beccalli et al. \(2015\)](#) mostraram que, em uma amostra de 55 bancos europeus, a utilização de *guidance* está associada a um aumento de 15% na probabilidade do banco atingir ou superar as expectativas de mercado. Isso, por sua vez, está associado a um incremento de até 5% no retorno por ação em relação aos bancos que não alcançaram ou superaram as expectativas.

A prática usual em *budgeting*<sup>14</sup>, principalmente para empresas com muitas filiais, é a *top-down*. No caso dos bancos de varejo, com muitas agências espalhadas pelo território, esse método pode ser muito útil. Na prática, em um país continental como o Brasil, a quantidade de filiais para as quais se deve realizar previsões pode tornar a tarefa desafiadora mesmo para instituições regionais.

Esse é o caso do Banestes. Com 134 agências distribuídas pelos 78 municípios capixabas, realizar o *budgeting* para R\$ 5,5 bi de faturamento<sup>15</sup> não é uma tarefa trivial. Além de uma estrutura hierárquica de alta dimensionalidade por conta da quantidade de agências, se tratando de um banco múltiplo<sup>16</sup> que opera com diversas carteiras, as  $n$  modalidades de crédito<sup>17</sup> expandem a estrutura para um total de  $n \times 134$  séries temporais a serem estimadas.

Dada tal complexidade, a abordagem *top-down* se coloca como uma opção viável em termos de tempo de processamento e análise. No entanto, conforme descemos na hierarquia, menos precisa ela se torna e, além disso, as características individuais das séries temporais do menor nível hierárquicos são ignoradas.

## 4.2 Revisão de literatura

A nível macroeconômico, a previsão do agregado de crédito das instituições financeiras é uma preocupação de bancos centrais ao redor do mundo. No Brasil, [Bader, Koyama, Sérgio](#)

<sup>12</sup> Art. 3º: Divulgar informação falsa ou prejudicialmente incompleta sobre instituição financeira. Pena: Reclusão, de 2 (dois) a 6 (seis) anos, e multa. Art. 4º: Gerir fraudulentamente instituição financeira. Pena: Reclusão, de 3 (três) a 12 (doze) anos, e multa ([BRASIL, 1986](#)).

<sup>13</sup> Art. 4º, parágrafo único: Se a gestão é temerária: Pena: Reclusão, de 2 (dois) a 8 (oito) anos, e multa ([BRASIL, 1986](#)).

<sup>14</sup> O orçamento é um documento no qual é definido o planejamento financeiro de um empresa, geralmente para o ano seguinte, estabelecendo metas e objetivos. Nele, são projetadas as expectativas da empresa e é base de comparação para saber como os resultados estão se desviando da performance esperada.

<sup>15</sup> Conforme demonstrativos publicados referentes ao exercício de 2022 ([BANCO DO ESTADO DO ESPÍRITO SANTO, 2022](#)).

<sup>16</sup> Para ser classificado como banco múltiplo, a instituição financeira deve operar com, no mínimo, duas carteiras dentre: comercial; investimento ou desenvolvimento; crédito imobiliário; de crédito, financiamento e investimento, e; arrendamento mercantil ([CONSELHO MONETÁRIO NACIONAL, 1994](#)).

<sup>17</sup> Crédito consignado, rural, imobiliário, pessoal, capital de giro, desconto de títulos etc.

Mikio e Tsuchida, Marcos Hiroyuki (2014) aprimoram o método FAVAR (*Factor Augmented Vector Autoregression*) com uma etapa de análise de correlação canônica para identificar as melhores, em termos de correlação com as variáveis de crédito do SFN, combinações lineares de componentes principais. Çolak et al. (2019) produzem, a partir de séries filtradas do agregado de crédito, indicadores para monitoramento de períodos de expansão e desaceleração de crédito no setor bancário turco.

Já para níveis abaixo do agregado de crédito, poucos trabalhos foram encontrados. Tangenciando o tema da previsão de saldos de crédito, outros tópicos da economia bancária foram objeto de estudo para previsão de séries temporais. Sezer, Gudelek e Ozbayoglu (2019) produziram revisão de literatura de trabalhos que realizaram previsão de séries temporais financeiras utilizando *deep learning*. Gorodetskaya, Gobareva e Koroteev (2021) propõem o que chamaram de “uma metodologia universal” para aplicação automática de *machine learning* na previsão de séries temporais do setor bancário. Entretanto, nenhum dos trabalhos combinaram estruturas hierárquicas com *machine learning*.

No que diz respeito à previsão de séries temporais em largas hierarquias, Prayoga, Suhartono e Rahayu (2017) trabalharam na previsão do fluxo de caixa do Banco da Indonésia, utilizando uma hierarquia de 3 níveis. Porém, utilizaram apenas a abordagem *top-down* para reconciliação. Inversamente, Li et al. (2016) compararam dois métodos de *machine learning* para previsão da produção de energia solar no estado da Flórida/EUA, redes neurais artificiais e SVM, em uma abordagem *bottom-up*, caracterizando ambos trabalhos como de nível único.

### 4.3 Metodologia

Os dados usados nesse trabalho são dados terciários obtidos do *datalake* público Base dos Dados (DAHIS et al., 2022). A fonte primária são os bancos comerciais e múltiplos com carteira comercial que disponibilizam mensalmente os saldos dos principais verbetes do balanço via documento 4500<sup>18</sup> ao Banco Central do Brasil, que os compila e publica, agrupados por agência bancária e por município, no relatório ESTBAN — Estatística Bancária Mensal e por Município<sup>19</sup>.

O que compõe os verbetes de crédito, ou seja, os valores das séries temporais a serem trabalhadas, são os saldos de crédito ativo (empréstimos e financiamentos), que correspondem ao principal mais os juros calculados até 59 dias de atraso<sup>20</sup>. Além das estatísticas bancárias, foram obtidas informações de regiões, mesorregiões e microrregiões dos estados, também a partir *datalake* Base dos Dados, com o objetivo de enriquecer a estrutura hierárquica dos dados

<sup>18</sup> Esses documentos são relatórios eletrônicos obrigatórios demandados pelo Bacen às instituições financeiras que permitem ao regulador o conhecimento minucioso dos bancos e de seus clientes.

<sup>19</sup> <https://www4.bcb.gov.br/fis/cosif/estban.asp?frame=1>

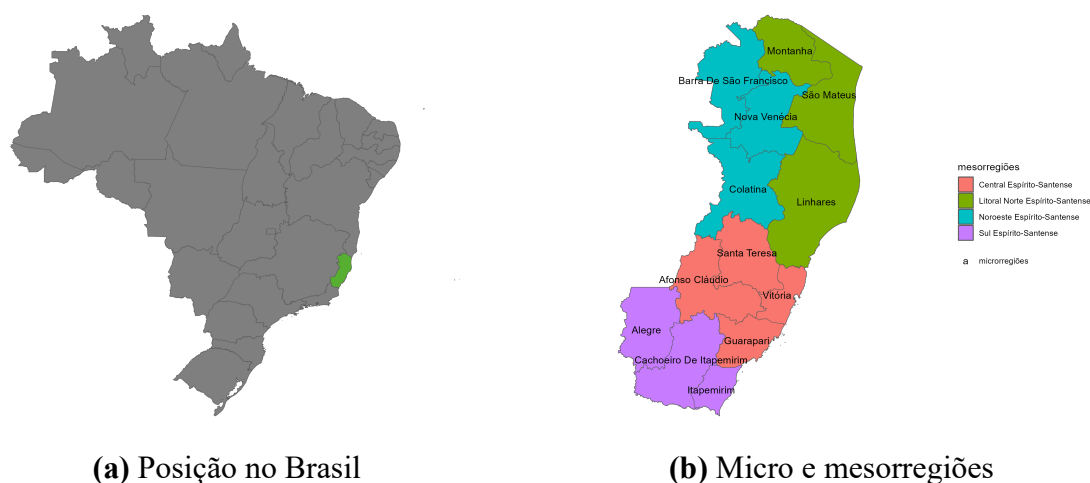
<sup>20</sup> Não são consideradas crédito ativo as operações de crédito liquidadas ou que tenham sido transferidas para prejuízo. São transferidas para prejuízo as operações de crédito em atraso há mais 6 meses após sua classificação de risco em H, que é a mínima (CONSELHO MONETÁRIO NACIONAL, 1999).

do ESTBAN, limitada aos municípios.

Em relação à cobertura temporal, utilizaremos dados entre 2003 e 2022. Por conta da limitação imposta pelo processo de *rolling origin* (1ª etapa da metodologia de [Spiliotis et al. \(2021\)](#)), que requer previsões para dentro do conjunto de treinamento, apesar do Banestes contar com 134 agências, foram mantidas apenas as agências com série completa, ou seja, que já estavam em atividade em 2003.

Por fim, o conjunto de dados conta com séries mensais de saldos de empréstimos e financiamentos de 79 agências bancárias, distribuídas por 62 municípios, entre janeiro de 2003 e dezembro de 2022, totalizando 37.920 observações. Esses dados então são organizados de forma hierárquica por estado, mesorregião, microrregião, município e agência bancária; e, de forma agrupada, por verbete. Com a estrutura hierárquica e agrupada, o conjunto de dados alcança 114 480 observações.

O estado do Espírito Santo está localizado no sudeste brasileiro e é dividido em 78 municípios, que estão agrupados em 4 mesorregiões e 13 microrregiões.



**Figura 12** – O Estado do Espírito Santo e suas meso e microrregiões.

As microrregiões que compõem cada mesorregião são apresentadas na Tabela 2 e na



Figura 12b. Já os municípios que compõem cada microrregião são apresentados na Tabela 3. A Figura 12c mostra a quantidade de agências por município.

**Tabela 2 – Microrregiões por mesorregião**

Mesorregião	Microrregiões
Central Espírito Santense	Afonso Claudio, Guarapari, Santa Teresa, Vitoria
Litoral Norte Espírito Santense	Linhares, Montanha, Sao Mateus
Noroeste Espírito Santense	Barra de Sao Francisco, Colatina, Nova Venecia
Sul Espírito Santense	Alegre, Cachoeiro de Itapemirim, Itapemirim

**Tabela 3 – Municípios por microrregião**

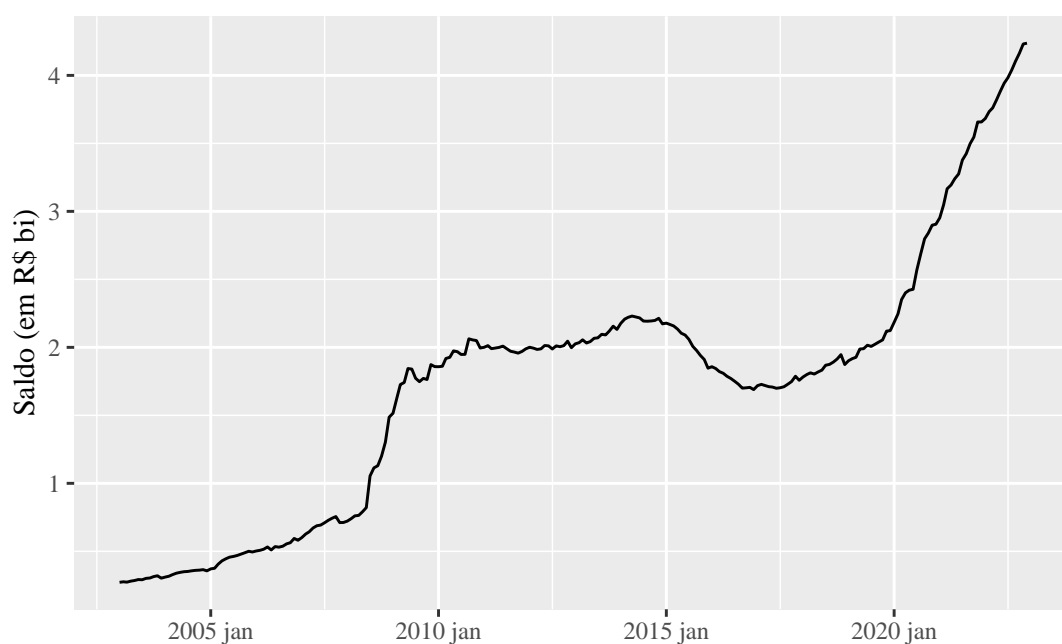
Microrregiões	Municípios
Afonso Claudio	Afonso Claudio, Conceicao do Castelo, domingos Martins, Laranja da Terra, Marechal Floriano, Venda Nova do Imigrante
Alegre	Alegre, Guacui, Ibatiba, Iuna, Muniz Freire
Barra de Sao Francisco	Barra de Sao Francisco, Ecoporanga, Mantenopolis
Cachoeiro de Itapemirim	Apiaca, Atilio Vivacqua, Bom Jesus do Norte, Cachoeiro de Itapemirim, Castelo, Jeronimo Monteiro, Mimoso do Sul, Muqui, Sao Jose do Calçado, Vargem Alta
Colatina	Baixo Guandu, Colatina, Pancas
Guarapari	Alfredo Chaves, Anchieta, Guarapari, Iconha, Piuma, Rio Novo do Sul
Itapemirim	Itapemirim, Marataizes, Presidente Kennedy
Linhares	Aracruz, Fundao, Ibiracu, Joao Neiva, Linhares, Rio Bananal
Montanha	Mucurici, Pinheiros
Nova Venecia	Aguia Branca, Boa Esperanca, Nova Venecia, Vila Valerio
Santa Teresa	Itaguacu, Itarana, Santa Leopoldina, Santa Maria de Jetiba, Santa Teresa, Sao Roque do Canaa
Sao Mateus	Jaguare, Pedro Canario, Sao Mateus
Vitoria	Cariacica, Serra, Viana, Vila Velha, Vitoria

Na amostra selecionada para este trabalho, com exceção dos municípios de Colatina e Cachoeiro de Itapemirim, que contam com 2 agências cada, todos os demais municípios no interior contam com uma única agência. Já na microrregião da capital Vitória, se encontram municípios com múltiplas unidades. Considerando que essa microrregião é a mais representativa (Figura 15), é importante a manutenção do nível hierárquico municipal.

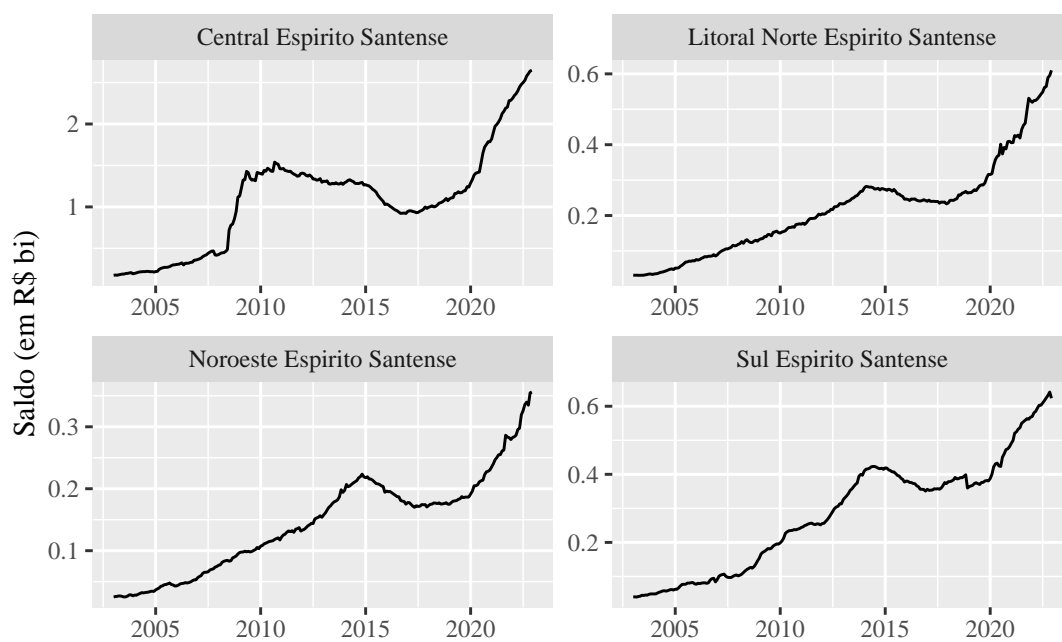
A série temporal do agregado de crédito no Banestes no Espírito Santo é apresentada na Figura 13. Em relação à distribuição, a mesorregião Central Espírito-santense concentra mais crédito do que o somatório das demais regiões (Figura 14), sendo a microrregião de Vitória a responsável por essa concentração (Figura 15). Na ótica dos verbetes, o crédito para financiamentos é uma pequena fração do saldo de empréstimos, independentemente da mesorregião (Figura 16 e Figura 17).

Warning: A numeric `legend.position` argument in `theme()` was deprecated in ggplot2 3.5.0.

i Please use the `legend.position.inside` argument of `theme()` instead.

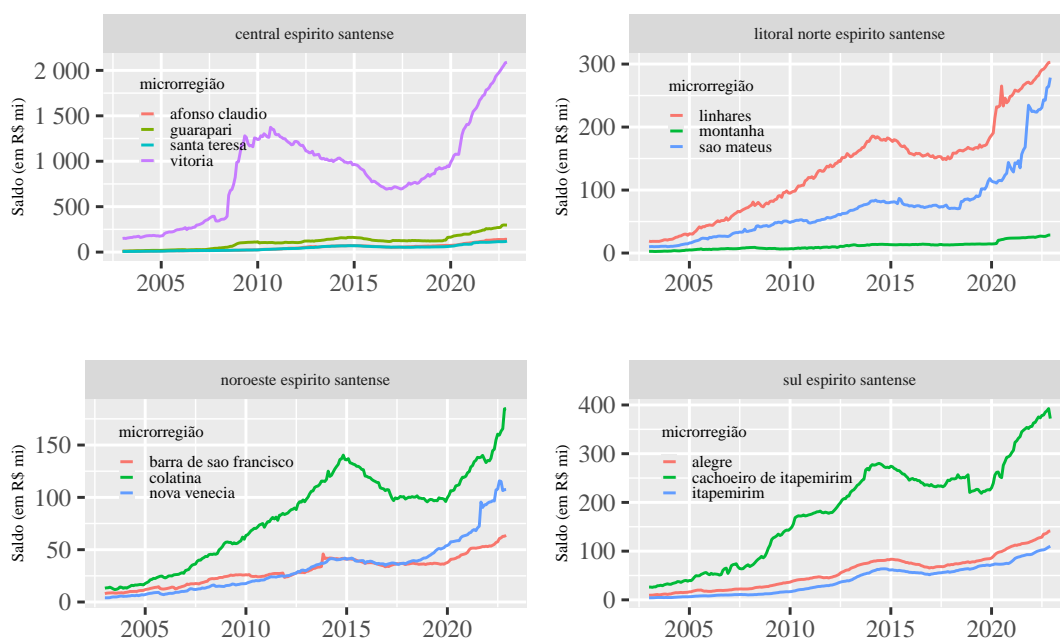


**Figura 13** – Série temporal do agregado de crédito do Banestes no ES

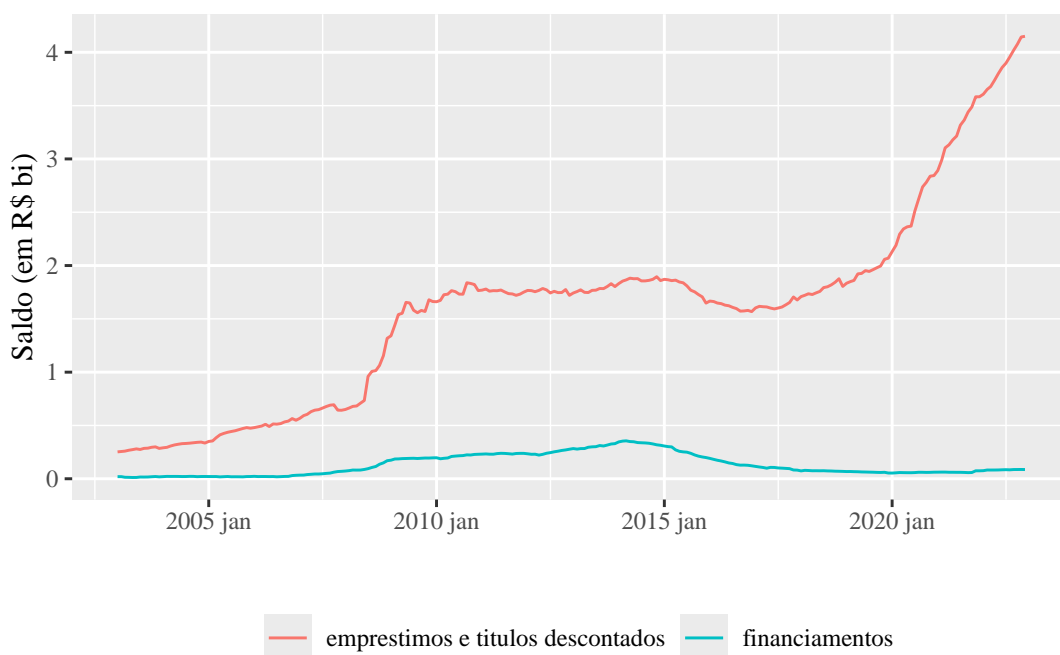


**Figura 14** – Séries temporais do agregado de crédito do Banestes por mesorregião do ES

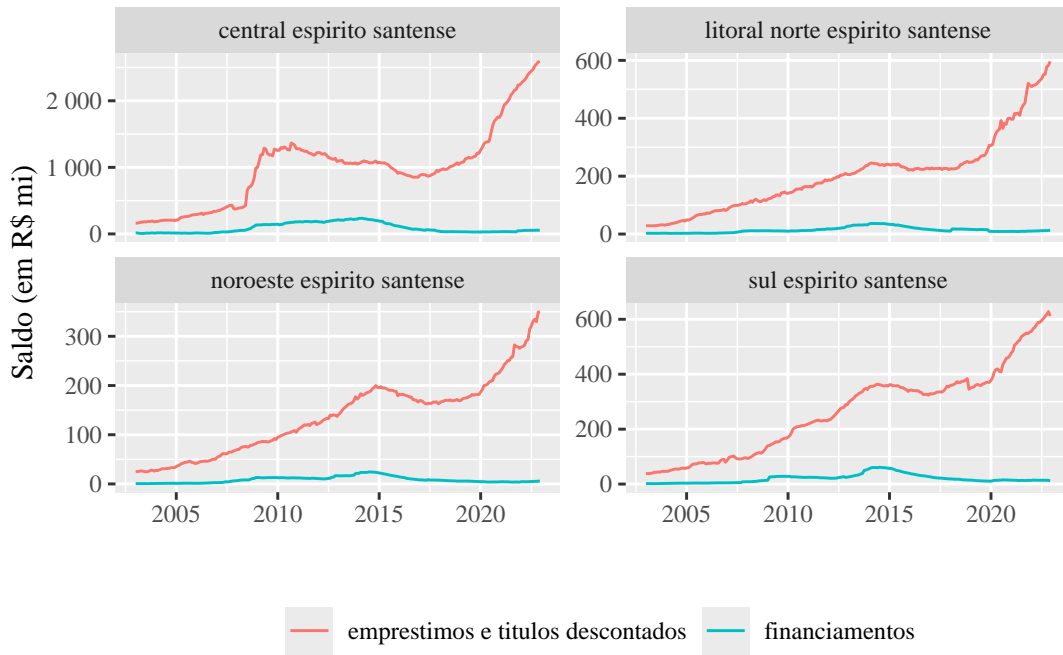




**Figura 15** – Séries temporais do agregado de crédito do Banestes por microrregião do ES



**Figura 16** – Séries temporais dos verbetes no agregado do ES



**Figura 17** – Séries temporais dos verbetes por mesorregião do ES

O *software* usado foi o R (R CORE TEAM, 2023). As previsões base, as previsões hierárquicas de nível único e a reconciliação ótima através da MinT foram realizados com os pacotes {fable} (O'HARA-WILD; HYNDMAN; WANG, 2024a) e {fabletools} (O'HARA-WILD; HYNDMAN; WANG, 2024b). Já metodologia de *machine learning* (reamostragem, otimização de hiperparâmetros, treino e predição) foi executada com o pacote {mlr3} (LANG et al., 2024) e suas extensões. As implementações do XGBoost e LightGBM foram realizadas com seus pacotes homônimos {xgboost} (CHEN; HE et al., 2024) e {lightgbm} (SHI et al., 2024), do Elastic Net com o pacote {glmnet} (FRIEDMAN et al., 2023), a do Random Forest com o pacote {ranger} (WRIGHT; WAGER; PROBST, 2023) e a do SVM com o pacote {e1071} (R-e1071).

#### 4.4 Previsões base

Uma vez que o foco deste trabalho está no incremento de performance proporcionado pela reconciliação ótima sobre um conjunto de previsões base e não na qualidade destas, elas foram obtidas por meio de métodos básicos para previsão de séries temporais, especificamente o algoritmo de Hyndman-Koehler-Snyder-Groser para suavimento exponencial (ETS) (HYNDMAN; KOEHLER et al., 2002). Esses métodos são amplamente utilizados na literatura de séries temporais e, portanto, servem como *benchmark* para a avaliação dos métodos de reconciliação ótima.

Os modelos foram treinados com dados de 2003 a 2021 e as previsões  $h$  passos à frente foram realizadas para o ano de 2022, com  $h = 1, 2, 3, \dots, 12$  (Figura ??). Para verificar a qualidade básica do ajuste, foram realizados testes de Ljung-Box para os resíduos das previsões.

Considerando nível de significância de  $\alpha = 0.05$  e 12 defasagens, cerca de 80% dos modelos não rejeitam a hipótese nula de que os resíduos são descorrelatados. Isso sugere que os modelos de previsão base são, em sua maior parte, adequados para o propósito deste trabalho.

**Tabela 4** – Resultados do teste de Ljung-box para as previsões base ( $\alpha = 0.05$ )

Resultado	Proporção
não rejeita	0.7945493
rejeita	0.2054507

## 4.5 Resultados

Neste trabalho, foram apresentados experimentos de reconciliação ótima para séries temporais hierárquicas e agrupadas, utilizando métodos analíticos e de *machine learning* com o objetivo de obter coerência e ganhos de acurácia nas previsões de saldos de empréstimos e financiamentos do Banco do Estado do Espírito Santo. Pesquisas anteriores já haviam mostrado que a reconciliação ótima pode trazer ganhos de acurácia, e que métodos de *machine learning* podem ser competitivos em relação aos métodos analíticos.

Este trabalho trouxe, além dos métodos de floresta aleatória e *gradient boosting* já trabalhados em [Spiliotis et al. \(2021\)](#), o método de regressão regularizada *elastic net* e o *support vector machines*, além de avaliar outro método de *gradient boosting*, o *lightGBM*. Paralelamente, este trabalho propôs duas estratégias alternativas para a metodologia de reconciliação ótima baseada em *machine learning* proposta originalmente em [Spiliotis et al. \(2021\)](#).

Os resultados obtidos para a base de dados Estban mostraram, primeiramente, que não houve uma combinação de método e estratégia que obtivesse melhor performance de maneira consistente ao longo de todos os níveis hierárquicos. Dessa forma, a escolha do método e da estratégia a serem utilizados dependerá do objetivo do pesquisador. Para os níveis ao topo da hierarquia, a combinação correta de método e estratégia de estimação (*elastic net* + *reduced fitted base*) gerou até 91% de ganho de performance no nível mais agregado, permitindo à instituição financeira maior precisão para tomada de decisão e planejamento estratégico, além de sinalizar maior confiança nas estimativas comunicadas ao mercado e aos investidores. Por outro lado, para os níveis inferiores na estrutura hierárquica, os métodos analíticos se mostraram a melhor escolha. Isso sugere que, com o objetivo de elaboração de metas individuais — seja para as agências ou superintendências regionais —, os métodos analíticos ainda são preferíveis.

Os resultados também mostram que o resultado da reconciliação ótima é sensível à estratégia utilizada. Apenas na estratégia *reduced fitted base* que os ganhos de performance foram observados, enquanto nas estratégias *rolling forecast* e *fitted base* os métodos de ML não foram capazes de superar os métodos analíticos<sup>21</sup>.

<sup>21</sup> O mesmo padrão em relação à performance ao longo dos níveis de agregação pôde ser observado na base de

Contrariamente aos resultados de [Spiliotis et al. \(2021\)](#), as implementações de ML baseados em árvore de decisão (*XGBoost*, *ranger* e *lightGBM*) não foram capazes de superar os métodos analíticos em nenhum nível de agregação.

As tabelas a seguir apresentam os resultados obtidos para o experimento. As métricas utilizadas foram a Raiz do Erro Médio Escalado Quadrático (*Root Mean Squared Scaled Error* — RMSSE) e o erro médio escalado absoluto (*Mean Absolute Scaled Error* — MASE).

A Tabela 5 contém as medidas de acurácia RMSSE e MASE para os métodos analíticos de reconciliação ótima BU (*bottom-up*) e MinT, e para as previsões base, ou seja, sem aplicar qualquer método de reconciliação. A primeira coluna especifica o método utilizado, enquanto as demais colunas apresentam a média da performance em cada nível de agregação.

As Tabela 6, Tabela 7 e Tabela 8 reportam as medidas de acurácia para os métodos de reconciliação ótima baseados em *machine learning*. Já a Tabela 9 reporta o tempo de processamento para as etapas de calibragem, treino e predição desses métodos<sup>22</sup>.

Em geral, os métodos baseados em árvore, além de requererem maior tempo de processamento devido a sua complexidade no espaço de hiperparâmetros, também tenderam a perder qualidade de performance conforme suas previsões são agregadas para formação dos níveis superiores da hierarquia. Contrariamente, os métodos de regressão regularizada e o SVM se mostraram mais robustos à agregação.

Nas tabelas a seguir, **negrito** indica a melhor performance entre os métodos para aquele determinado nível de agregação, e sublinhado indica que aquele método de ML superou o método analítico de melhor performance naquele nível de agregação.

Nos resultados para a base de dados Estban, estão incluídas as médias de performance para cada nível hierárquico e agrupado. As colunas “agregado”, “mesorregiao”, “microrregiao”, “município” e “agencia”, fazem referência à estrutura hierárquica, ou seja, tratam o verbete de forma agregada. Já as colunas “verbetes”, “bottom” e “hierarquia”, incluem também a estrutura agrupada, tratando o verbete de forma desagregada. Detalhadamente:

- Agregado: performance do método para a série que representa o total, com os verbetes agregados, (Figura 13).
- Mesorregião: a média das performances do método para as séries do agregado de cada mesorregião, com os verbetes agregados (Figura 14).

---

dados “Tourism” (Apêndice ??). Foi possível encontrar uma combinação de método de ML e estratégia capaz de superar os métodos analíticos para os níveis mais agregados, mas não para os níveis mais desagregados. Naquela base de dados, os métodos de ML superaram os analíticos em todos os níveis de agregação, exceto no mais desagregado, com os métodos *support vector machines* e *elastic net* liderando a performance tanto nas estratégias *rolling forecast* quanto *fitted base*.

<sup>22</sup> Os métodos analíticos não tiveram seu tempo de processamento medidos porque executam quase que instantaneamente, já sinalizando uma vantagem para esses métodos.

- Microrregião: a média das performances do método para as séries do agregado de cada microrregião, com os verbetes agregados (Figura 15).
- Município: a média das performances do método para as séries do agregado de cada município, com os verbetes agregados.
- Agência: a média das performances do método para as séries de cada agência, com os verbetes agregados.
- Verbetes: a média das performances do método para as séries de cada verbete, para o total da hierarquia (Figura 16).
- Bottom: a média das performances do método para as séries do nível mais desagregado, ou seja, verbete por agência.
- Hierarquia: a média das performances do método para todas as séries, agregadas e desagregadas.

**Tabela 5 – Resultados Estban: Acurácia dos métodos analíticos de reconciliação**

.model	agregado	mesorregiao	microrregiao	municipio	agencia	verbetes	bottom	hierarquia
<b>RMSSE</b>								
base	0.197	0.690	0.846	<b>0.671</b>	0.717	0.183	0.656	0.657
bu	0.196	0.561	<b>0.706</b>	0.710	0.739	0.185	0.656	0.663
mint	0.172	0.619	0.722	0.689	<b>0.712</b>	<b>0.140</b>	<b>0.634</b>	<b>0.641</b>
<b>MASE</b>								
base	0.278	0.818	0.998	<b>0.790</b>	<b>0.886</b>	0.250	0.883	0.847
bu	0.240	0.572	<b>0.771</b>	0.820	0.895	0.221	<b>0.883</b>	0.844
mint	0.224	0.692	0.865	0.830	0.891	<b>0.164</b>	0.864	<b>0.837</b>

**Tabela 6 – Resultados Estban: Acurácia dos métodos de ML de reconciliação, estratégia rolling forecast.**

modelo	agregado	mesorregiao	microrregiao	municipio	agencia	verbetes	bottom	hierarquia
<b>RMSSE</b>								
elastic net	0.280	0.763	1.178	1.211	1.251	0.770	1.062	1.094
lasso	0.196	0.726	1.054	0.995	1.043	0.501	0.839	0.882
lightgbm	1.407	1.628	1.530	1.294	1.322	0.883	0.972	1.095
random forest	1.227	1.397	1.303	1.118	1.171	0.725	0.858	0.949
ridge	0.416	0.776	1.131	1.511	1.535	0.919	1.357	1.368
svm	0.262	0.745	0.858	0.853	0.911	0.234	0.847	0.838
xgb	1.186	1.405	1.296	1.096	1.139	0.700	0.830	0.924
<b>MASE</b>								
elastic net	0.234	0.726	1.406	1.491	1.582	0.949	1.439	1.428
lasso	<b>0.166</b>	0.714	1.250	1.193	1.298	0.641	1.142	1.147
lightgbm	1.890	1.896	1.874	1.600	1.654	1.234	1.390	1.478
random forest	1.615	1.560	1.501	1.332	1.423	0.996	1.097	1.177
ridge	0.402	0.757	1.315	1.800	1.881	1.090	1.790	1.738
svm	0.306	0.684	0.862	0.991	1.108	0.290	1.251	1.143
xgb	1.542	1.564	1.479	1.297	1.373	0.948	1.022	1.115

**Tabela 7** – Resultados Estban: Acurácia dos métodos de ML de reconciliação, estratégia fitted base

modelo	agregado	mesorregiao	microrregiao	municipio	agencia	verbete	bottom	hierarquia
<b>RMSSE</b>								
elastic net	0.777	0.986	1.086	1.038	1.149	0.579	0.924	0.961
lasso	0.661	0.955	1.074	0.909	1.008	0.530	0.826	0.862
lightgbm	1.495	1.649	1.557	1.300	1.342	0.923	0.999	1.116
random forest	1.204	1.397	1.294	1.098	1.150	0.694	0.839	0.930
ridge	1.001	1.146	1.247	1.208	1.327	0.689	1.125	1.147
svm	0.395	0.929	0.928	0.934	0.961	0.319	0.905	0.898
xgb	1.196	1.373	1.282	1.084	1.133	0.699	0.824	0.916
<b>MASE</b>								
elastic net	1.049	1.143	1.317	1.268	1.451	0.795	1.290	1.284
lasso	0.894	1.087	1.319	1.114	1.276	0.728	1.167	1.162
lightgbm	2.027	1.931	1.906	1.610	1.683	1.302	1.433	1.512
random forest	1.576	1.557	1.488	1.311	1.397	0.947	1.043	1.132
ridge	1.338	1.350	1.549	1.501	1.696	0.935	1.584	1.551
svm	0.445	0.947	1.080	1.163	1.226	0.341	1.282	1.217
xgb	1.545	1.509	1.476	1.293	1.375	0.942	1.017	1.109

**Tabela 8** – Resultados Estban: Acurácia dos métodos de ML de reconciliação, estratégia reduced fitted base

modelo	agregado	mesorregiao	microrregiao	municipio	agencia	verbete	bottom	hierarquia
<b>RMSSE</b>								
elastic net	<b>0.090</b>	0.582	0.730	0.819	0.838	0.164	0.730	0.736
lasso	<u>0.132</u>	<b>0.523</b>	0.766	0.757	0.774	0.187	0.681	0.693
lightgbm	1.406	1.588	1.520	1.281	1.323	0.889	0.971	1.091
random forest	1.248	1.409	1.319	1.119	1.167	0.692	0.857	0.949
ridge	<u>0.141</u>	0.635	0.784	0.902	0.922	0.207	0.841	0.829
svm	0.187	0.743	0.767	0.792	0.834	0.295	0.807	0.792
xgb	1.218	1.347	1.253	1.084	1.140	0.708	0.844	0.927
<b>MASE</b>								
elastic net	<b>0.086</b>	0.584	0.834	0.973	1.008	0.208	0.944	0.922
lasso	<u>0.138</u>	<b>0.520</b>	0.883	0.907	0.933	0.216	0.891	0.878
lightgbm	1.879	1.831	1.832	1.580	1.652	1.236	1.388	1.470
random forest	1.636	1.576	1.526	1.333	1.418	0.947	1.065	1.155
ridge	<u>0.159</u>	0.630	0.894	1.047	1.087	0.231	1.073	1.021
svm	0.225	0.764	0.850	0.949	1.022	0.395	1.176	1.083
xgb	1.593	1.491	1.427	1.293	1.380	0.965	1.064	1.137

**Tabela 9** – Resultados Estban: Tempo de processamento dos métodos de ML (em horas)

	xgb	random forest	elastic net	lasso	ridge	svm	lightgbm
reduced fitted base	19.235	5.483	1.428	0.879	0.993	1.279	3.290
fitted base	21.758	5.521	1.363	0.829	0.924	1.273	3.341
rolling forecast	20.908	5.429	1.345	0.838	0.929	1.285	3.377

Para a base de dados Estban, não houve uma combinação de método e estratégia que fosse consistentemente melhor ao longo de todos os níveis de agregação. Portanto, a escolha do método e da estratégia a serem utilizados dependerá do objetivo do pesquisador<sup>23</sup>.

Para os níveis ao topo da hierarquia, os métodos de ML se mostraram a melhor opção para estimação. No nível agregado, o *elastic net* na estratégia *reduced fitted base* (Tabela 8) se mostrou a melhor opção para a estimação do agregado, com 91% de ganho de performance sobre o MinT (Tabela 5), em termos de RMSSE, ou seja, o MinT obteve quase o dobro do erro do *elastic net*. Da mesma forma, para o nível de mesorregião, o *elastic net* na configuração *lasso* teve a melhor performance, sendo 7% melhor que BU. Por outro lado, tanto nos níveis hierárquicos abaixo, quanto nos níveis agrupados, os métodos de ML não foram capazes de superar os métodos analíticos.

Os resultados se mostraram bastante sensíveis à estratégia utilizada. Na métrica RMSS, nenhum método utilizando as estratégias *rolling forecast* e *fitted base* foi capaz de superar o MinT em qualquer nível de agregação, enquanto na estratégia *reduced fitted base* os métodos de ML mostraram ganhos de performance com os métodos SVM e nas três configurações do *elastic net*.

Em geral, as medidas RMSSE e MASE se mostraram bastante correlacionadas, com os métodos que obtiveram melhor performance em uma métrica também obtendo melhor performance na outra. A exceção foi para o método *lasso* na estratégia *rolling forecast*, que obteve performance melhor que o MinT, em termos de MASE, para o nível agregado, sendo o único resultado positivo para a estratégia *rolling forecast*.

## 5 PREVISÃO PARA O TURISMO DOMÉSTICO AUSTRALIANO

### 5.1 Introdução

A base de dados “overnight trips” consiste na quantidade trimestral de viagens domésticas que duram uma noite na Austrália entre 1998 e 2017. A estrutura é hierárquica e agrupada, composta por 3 níveis hierárquicos — *State* (Estados), *Region* (Regiões) e total —, e agrupado por *Purpose* (Propósito). Essa base de dados foi utilizada em Athanasopoulos, Ahmed e Hyndman (2009) para comparar a performance da combinação ótima contra BU e algumas variações de TD e é também utilizada em Hyndman e Athanasopoulos (2021) como recurso didático no capítulo de previsão hierárquica.

A base de dados “domestic visitor nights” registra o número total de noites que os vis-

<sup>23</sup> Se o objetivo é a elaboração de *guidance*, por exemplo, o pesquisador deve preferir o método e estratégia que geram as previsões mais precisas para o nível agregado. Já para elaboração de metas individuais, os níveis individuais ou regionais podem ser preferíveis.

itantes domésticos passam em viagens dentro da Austrália. A estrutura desse dataset é estritamente hierárquica, composta por 4 níveis hierárquicos: *State* (Estados), *Zones* (Zonas), *Region* (Regiões) e total. Essa base de dados foi utilizada em trabalhos como [Wickramasuriya, Athanasopoulos e Hyndman \(2019\)](#), [Kourentzes e Athanasopoulos \(2019\)](#) e [Spiliotis et al. \(2021\)](#).

## 5.2 Resultados

Assim como na base de dados Estban, aqui também não houve uma combinação de método e estratégia que fosse consistentemente melhor ao longo de todos os níveis de agregação. Entretanto, uma tendência pode ser observada em ambas bases de dados, com os métodos de ML se mostrando a melhor opção para estimação nos níveis ao topo da hierarquia, enquanto os métodos analíticos se mostram melhor opção para os níveis ao fundo da hierarquia.

Nessa base de dados, o método SVM na estratégia *rolling forecast* se mostrou a melhor combinação para os níveis mais agregados, alcançando 93% de incremento de performance em relação ao MinT, em termos de RMSSE, ou seja, o MinT teve quase o dobro do erro que o SVM. Já a estratégia *reduced fitted base* teve performance muito baixa, com problemas de estimação e necessidade de imputação de dados. Além da perda de performance nas medidas de acurácia, a estratégia *reduced fitted base* também teve tempo de processamento muito longos em relação às outras estratégias. Nessa estratégia também foi observada presença de valores negativos para os métodos *elastic net* e SVM, de forma que foram excluídos do *benchmark*.

**Tabela 10** – Resultados para “overnight trips”: Acurácia dos métodos analíticos de reconciliação

.model	agregado	state	region	purpose	bottom	hierarquia
<b>RMSSE</b>						
base	1.446	1.260	1.068	1.265	0.925	0.976
bu	2.580	1.634	1.113	2.004	0.925	1.011
mint	1.813	1.296	0.978	1.420	<b>0.876</b>	<b>0.923</b>
<b>MASE</b>						
base	1.533	1.399	1.132	1.330	0.979	1.036
bu	3.164	1.877	1.176	2.323	0.979	1.078
mint	2.086	1.449	1.021	1.512	<b>0.937</b>	<b>0.984</b>

## 6 CONCLUSÃO

Para pesquisas futuras, pode-se investigar se a performance dos diferentes métodos e estratégias estão relacionadas às características das séries temporais, por exemplo:

- Existem características específicas das séries temporais que favorecem o uso de métodos de ML em níveis agregados ou desagregados?



**Tabela 11** – Resultados para “overnight trips”: Acurácia dos métodos de ML de reconciliação, estratégia rolling forecast

modelo	agregado	State	Region	Purpose	bottom	hierarquia
<b>RMSSE</b>						
elastic net	1.990	1.386	1.086	1.541	0.988	1.041
lasso	1.929	1.373	1.100	1.523	1.026	1.069
lightgbm	4.330	2.762	1.651	3.456	1.141	1.354
random forest	2.135	1.365	1.033	1.709	0.908	0.966
ridge	<u>1.256</u>	<u>1.185</u>	1.013	<u>1.202</u>	0.919	0.959
svm	<b>0.940</b>	<b>1.010</b>	1.076	<b>1.011</b>	1.100	1.097
xgb	2.340	1.451	1.114	1.892	0.964	1.031
<b>MASE</b>						
elastic net	2.360	1.572	1.145	1.653	1.058	1.115
lasso	2.264	1.557	1.168	1.593	1.110	1.155
lightgbm	5.505	3.214	1.763	4.060	1.200	1.448
random forest	2.579	1.528	1.073	1.816	0.961	1.020
ridge	<u>1.343</u>	<u>1.309</u>	1.058	<u>1.192</u>	0.981	1.020
svm	<b>1.070</b>	<b>1.096</b>	1.140	<b>1.033</b>	1.178	1.174
xgb	2.888	1.650	1.162	2.118	1.013	1.087

**Tabela 12** – Resultados para “overnight trips”: Acurácia dos métodos de ML de reconciliação, estratégia fitted base

modelo	agregado	State	Region	Purpose	bottom	hierarquia
<b>RMSSE</b>						
elastic net	2.166	1.400	1.100	1.771	0.972	1.034
lasso	1.904	1.446	1.093	1.611	0.973	1.034
lightgbm	4.330	2.762	1.651	3.456	1.141	1.354
random forest	2.115	1.361	1.032	1.715	0.907	0.964
ridge	1.568	<u>1.156</u>	<b>0.971</b>	1.292	0.897	0.933
svm	1.495	<u>1.189</u>	1.046	1.383	1.036	1.054
xgb	2.269	1.418	1.100	1.829	0.962	1.023
<b>MASE</b>						
elastic net	2.587	1.570	1.160	1.955	1.035	1.102
lasso	2.212	1.672	1.156	1.729	1.040	1.108
lightgbm	5.505	3.214	1.763	4.060	1.200	1.448
random forest	2.543	1.538	1.073	1.837	0.966	1.024
ridge	1.773	<u>1.290</u>	<b>1.012</b>	<u>1.308</u>	0.960	0.993
svm	1.747	<u>1.304</u>	1.091	1.364	1.097	1.113
xgb	2.790	1.619	1.153	2.041	1.013	1.080

**Tabela 13** – Resultados para “overnight trips”: Acurácia dos métodos de ML de reconciliação, estratégia reduced fitted base

modelo	agregado	State	Region	Purpose	bottom	hierarquia
<b>RMSSE</b>						
elastic net	496.4	449	405.5	510.4	281.6	317.9
lasso	593.1	381	411.8	502.4	309.8	338.5
lightgbm	4.33	2.762	1.651	3.456	1.141	1.354
random forest	2.582	1.55	1.108	2.015	0.9236	1.005
ridge	328.9	282.3	220.1	331	129.9	159.5
svm	5.328e+09	1.378e+10	1.15e+10	1.179e+10	5.643e+09	7.244e+09
xgb	3.14	1.934	1.284	2.441	1.019	1.136
<b>MASE</b>						
elastic net	563.8	521.7	459.7	586.9	324.1	363.4
lasso	656	423.9	460.8	599.1	359.5	388.5
lightgbm	5.505	3.214	1.763	4.06	1.2	1.448
random forest	3.176	1.762	1.167	2.236	0.9756	1.066
ridge	361.5	324.7	248	377.6	147.8	180.7
svm	6.081e+09	1.413e+10	1.08e+10	1.095e+10	5.255e+09	6.82e+09
xgb	3.932	2.265	1.378	2.857	1.072	1.213

**Tabela 14** – Resultados para “overnight trips”: Tempo de processamento dos métodos de ML (em horas)

	xgb	random forest	elastic net	lasso	ridge	svm	lightgbm
fitted base	15.767	3.687	1.540	1.282	1.371	1.977	3.535
rolling forecast	12.087	2.987	0.957	0.796	1.073	2.035	3.596
reduced fitted base	24.627	15.386	6.006	4.968	5.323	10.474	19.362

**Tabela 15** – Resultados para “visitor nights”: Acurácia dos métodos analíticos de reconciliação

.model	agregado	state	zone	region	hierarquia
<b>RMSSE</b>					
base	0.782	0.900	0.932	0.876	0.890
bu	1.749	1.172	0.963	0.876	0.924
mint	1.146	0.911	0.835	0.822	0.834
td	<b>0.782</b>	<b>0.858</b>	0.843	0.836	0.839
<b>MASE</b>					
base	0.788	0.955	1.014	0.949	0.964
bu	1.850	1.278	1.029	0.949	0.997
mint	1.176	0.950	0.902	0.893	0.901
td	<b>0.788</b>	<b>0.881</b>	0.919	0.916	0.913

**Tabela 16** – Resultados para “visitor nights”: Acurácia dos métodos de ML de reconciliação, estratégia rolling forecast

modelo	agregado	State	Zone	Region	hierarquia
<b>RMSSE</b>					
elastic net	1.298	1.037	0.905	0.857	0.884
lasso	1.248	1.015	0.883	0.839	0.865
lightgbm	1.563	1.124	0.933	0.866	0.905
random forest	1.251	0.951	0.828	<u>0.805</u>	<u>0.824</u>
ridge	1.231	0.950	<u>0.838</u>	<u>0.811</u>	<u>0.830</u>
svm	1.478	1.087	0.921	0.856	0.892
xgb	1.427	1.062	0.895	0.846	0.877
<b>MASE</b>					
elastic net	1.396	1.080	0.969	0.924	0.949
lasso	1.322	1.046	0.933	0.903	0.923
lightgbm	1.466	1.124	0.978	0.933	0.961
random forest	1.301	0.986	<u>0.882</u>	<u>0.868</u>	<u>0.883</u>
ridge	1.311	0.994	<u>0.902</u>	<u>0.885</u>	<u>0.899</u>
svm	1.560	1.117	0.979	0.919	0.952
xgb	1.447	1.102	0.950	0.907	0.935

**Tabela 17** – Resultados para “visitor nights”: Acurácia dos métodos de ML de reconciliação, estratégia fitted base

modelo	agregado	State	Zone	Region	hierarquia
<b>RMSSE</b>					
elastic net	1.285	0.979	0.864	0.830	0.852
lasso	1.097	0.974	0.848	<u>0.819</u>	0.838
lightgbm	1.342	1.037	0.886	0.842	0.869
random forest	1.202	0.931	<u>0.820</u>	<u>0.813</u>	<u>0.826</u>
ridge	1.068	0.906	<b>0.813</b>	<b>0.804</b>	<b>0.815</b>
svm	1.232	0.971	0.859	0.835	0.853
xgb	1.376	0.994	0.857	0.838	0.858
<b>MASE</b>					
elastic net	1.343	1.019	0.923	0.895	0.914
lasso	1.136	0.989	<u>0.888</u>	<u>0.883</u>	<u>0.893</u>
lightgbm	1.249	1.040	0.941	0.916	0.933
random forest	1.207	0.964	<u>0.883</u>	<u>0.879</u>	<u>0.888</u>
ridge	1.120	0.950	<b>0.869</b>	<b>0.875</b>	<b>0.880</b>
svm	1.292	0.999	0.915	0.895	0.910
xgb	1.396	1.025	0.925	0.907	0.924

**Tabela 18** – Resultados para “visitor nights”: Acurácia dos métodos de ML de reconciliação, estratégia reduced fitted base

modelo	agregado	State	Zone	Region	hierarquia
<b>RMSSE</b>					
elastic net	7.424e+12	2.628e+12	1.601e+12	7.51e+11	1.136e+12
lasso	1.354	1.086	0.9167	0.8473	0.8838
lightgbm	1.705	1.15	0.9707	0.877	0.9245
random forest	1.232	0.9545	0.8502	0.8424	0.8548
ridge	1.99e+12	2.238e+12	1.728e+12	1.455e+12	1.576e+12
svm	1.717	1.332	1.116	0.9758	1.039
xgb	1.724	1.16	0.9431	0.8713	0.9147
<b>MASE</b>					
elastic net	8.493e+12	2.931e+12	1.81e+12	8.536e+11	1.286e+12
lasso	1.468	1.126	0.9676	0.913	0.9447
lightgbm	1.761	1.219	1.025	0.9422	0.9871
random forest	1.254	1.016	0.9184	0.9151	0.9253
ridge	2.356e+12	2.614e+12	2.046e+12	1.813e+12	1.925e+12
svm	1.96	1.516	1.227	1.092	1.159
xgb	1.821	1.248	1.002	0.9243	0.9716

**Tabela 19** – Resultados para “visitor nights”: Tempo de processamento dos métodos de ML (em horas)

	xgb	random forest	elastic net	lasso	ridge	svm	lightgbm
fitted base	5.089	1.493	0.315	0.236	0.235	2.439	1.353
rolling forecast	5.585	1.645	0.260	0.253	0.294	1.746	1.374
reduced fitted base	4.910	1.453	0.283	0.222	0.221	6.395	1.343

- Séries estritamente hierárquicas irão favorecer métodos analíticos nos níveis mais agregados, enquanto séries hierárquicas agrupadas favorecerão métodos de ML?
- Existe motivo teórico para que os métodos de ML baseados em árvore de decisão tenham baixa performance nos níveis inferiores de séries hierárquicas agrupadas?
- Os efeitos do ruído de previsão: se os diferentes métodos e estratégias exibem aumento ou deterioração de performance quando as previsões individuais são mais ou menos ruidosas (i.e. se a variância do erro das previsões individuais é maior ou menor).
- Os efeitos de correlação entre as séries: se os métodos e estratégias exibem aumento ou deterioração de performance quando as séries temporais no menor nível hierárquico são mais ou menos correlacionadas.
- Os efeitos de componentes sazonais: se os métodos e estratégias exibem aumento ou deterioração de performance quando as séries temporais do menor nível hierárquico possuem ou não componentes sazonais.
- Os efeitos do tamanho da hierarquia: verificar se os métodos e estratégias exibem aumento ou deterioração de performance quando a hierarquia é mais ou menos profunda (i.e. possui

mais ou menos níveis hierárquicos).

# REFERÊNCIAS

- ATHANASOPOULOS, G.; AHMED, R. A.; HYNDMAN, R. J. Hierarchical forecasts for Australian domestic tourism. **International Journal of Forecasting**, v. 25, n. 1, p. 146–166, 1 jan. 2009. ISSN 0169-2070. DOI: [10.1016/j.ijforecast.2008.07.004](https://doi.org/10.1016/j.ijforecast.2008.07.004). Disponível em: <https://www.sciencedirect.com/science/article/pii/S0169207008000691>. Acesso em: 11 jan. 2023. Citado nas pp. 13, 19, 46.
- ATHANASOPOULOS, G.; HYNDMAN, R. J.; KOURENTZES, N.; PANAGIOTELIS, A. Forecast reconciliation: A review, 2023. Citado nas pp. 13, 25.
- ATHANASOPOULOS, G.; HYNDMAN, R. J.; KOURENTZES, N.; PETROPOULOS, F. Forecasting with temporal hierarchies. **European Journal of Operational Research**, v. 262, n. 1, p. 60–74, 1 out. 2017. ISSN 0377-2217. DOI: [10.1016/j.ejor.2017.02.046](https://doi.org/10.1016/j.ejor.2017.02.046). Disponível em: <https://www.sciencedirect.com/science/article/pii/S0377221717301911>. Acesso em: 11 jan. 2023. Citado na p. 26.
- BADER, F. L. C.; KOYAMA, SÉRGIO MIKIO; TSUCHIDA, MARCOS HIROYUKI. Modelo favar canônico para previsão do mercado de crédito. **Banco Central do Brasil**, v. 369, p. 38, nov. 2014. ISSN 1519-1028. Citado na p. 35.
- BANCO DO ESTADO DO ESPÍRITO SANTO. **Demonstrações Financeiras**. Vitória, 2022. Disponível em: [https://www.banestes.com.br/ri/arquivos/informacoes/demoFinanceiras/2022\\_2S\\_demonFinanceiras.pdf](https://www.banestes.com.br/ri/arquivos/informacoes/demoFinanceiras/2022_2S_demonFinanceiras.pdf). Acesso em: 4 jun. 2023. Citado na p. 35.
- BECCALLI, E. et al. Earnings management, forecast guidance and the banking crisis. **The European Journal of Finance**, v. 21, n. 3, p. 242–268, 19 fev. 2015. ISSN 1351-847X. DOI: [10.1080/1351847X.2013.809548](https://doi.org/10.1080/1351847X.2013.809548). Disponível em: <https://doi.org/10.1080/1351847X.2013.809548>. Acesso em: 7 mai. 2023. Citado na p. 35.
- BERGMEIR, C.; BENÍTEZ, J. M. On the use of cross-validation for time series predictor evaluation. **Information Sciences**, v. 191, p. 192–213, 15 mai. 2012. ISSN 0020-0255. DOI: [10.1016/j.ins.2011.12.028](https://doi.org/10.1016/j.ins.2011.12.028). Disponível em: <https://www.sciencedirect.com/science/article/pii/S0020025511006773>. Acesso em: 30 mai. 2023. Citado na p. 33.
- BERGMEIR, C.; HYNDMAN, R. J.; KOO, B. A note on the validity of cross-validation for evaluating autoregressive time series prediction. **Computational Statistics & Data Analysis**, v. 120, p. 70–83, abr. 2018. ISSN 01679473. DOI: [10.1016/j.csda.2017.11.003](https://doi.org/10.1016/j.csda.2017.11.003). Disponível em: <https://linkinghub.elsevier.com/retrieve/pii/S0167947317302384>. Acesso em: 28 mai. 2023. Citado na p. 33.

BISCHL, B.; MERSMANN, O. et al. Resampling Methods for Meta-Model Validation with Recommendations for Evolutionary Computation. **Evolutionary Computation**, v. 20, n. 2, p. 249–275, jun. 2012. Conference Name: Evolutionary Computation. ISSN 1063-6560. DOI: [10.1162/EVCO\\_a\\_00069](https://doi.org/10.1162/EVCO_a_00069). Citado nas pp. 30, 31.

BISCHL, B.; BINDER, M. et al. **Hyperparameter Optimization: Foundations, Algorithms, Best Practices and Open Challenges**. [S.l.]: arXiv, 24 nov. 2021. DOI: [10.48550/arXiv.2107.05847](https://doi.org/10.48550/arXiv.2107.05847). arXiv: [2107.05847\[cs,stat\]](https://arxiv.org/abs/2107.05847). Disponível em: <http://arxiv.org/abs/2107.05847>. Acesso em: 4 set. 2023. Citado na p. 30.

BRASIL. **Lei nº 7.492, de 16 de junho de 1986**. Brasília, DF: Presidência da República, 18 jun. 1986. Disponível em: [https://www.planalto.gov.br/ccivil\\_03/leis/17492.htm](https://www.planalto.gov.br/ccivil_03/leis/17492.htm). Citado na p. 35.

CHEN, T.; GUESTRIN, C. XGBoost: A Scalable Tree Boosting System. In: PROCEEDINGS of the 22nd ACM SIGKDD International Conference on Knowledge Discovery and Data Mining. New York, NY, USA: Association for Computing Machinery, 13 ago. 2016. (KDD '16), p. 785–794. ISBN 978-1-4503-4232-2. DOI: [10.1145/2939672.2939785](https://doi.org/10.1145/2939672.2939785). Disponível em: <https://dl.acm.org/doi/10.1145/2939672.2939785>. Acesso em: 23 jan. 2024. Citado na p. 63.

CHEN, T.; HE, T. et al. **xgboost: Extreme Gradient Boosting**. [S.l.], 2024. R package version 1.7.7.1. Disponível em: <https://github.com/dmlc/xgboost>. Citado na p. 41.

ÇOLAK, M. S. et al. **TCMB - Monitoring and Forecasting Cyclical Dynamics in Bank Credits: Evidence from Turkish Banking Sector**. Ankara, Turquia, 2019. Disponível em: <https://www.tcmb.gov.tr/wps/wcm/connect/EN/TCMB+EN/Main+Menu/Publications/Research/Working+Papers/2019/19-29>. Acesso em: 6 mar. 2023. Citado na p. 36.

CONSELHO MONETÁRIO NACIONAL. **Resolução nº 2.099, de 17 de agosto de 1994**. Brasília, DF: Banco Central do Brasil, 17 ago. 1994. Disponível em: [https://www.bcb.gov.br/pre/normativos/res/1994/pdf/res\\_2099\\_v1\\_O.pdf](https://www.bcb.gov.br/pre/normativos/res/1994/pdf/res_2099_v1_O.pdf). Citado na p. 35.

\_\_\_\_\_. **Resolução nº 2.682, de 21 de dezembro de 1999**. Brasília, DF: Banco Central do Brasil, 21 dez. 1999. Disponível em: [https://www.bcb.gov.br/pre/normativos/res/1999/pdf/res\\_2682\\_v2\\_L.pdf](https://www.bcb.gov.br/pre/normativos/res/1999/pdf/res_2682_v2_L.pdf). Citado na p. 36.

DAHIS, R. et al. Data Basis (Base Dos Dados): Universalizing Access to High-Quality Data. **SSRN Electronic Journal**, 2022. ISSN 1556-5068. DOI: [10.2139/ssrn.4157813](https://doi.org/10.2139/ssrn.4157813). Disponível em: <https://www.ssrn.com/abstract=4157813>. Acesso em: 18 jun. 2023. Citado na p. 36.

FRIEDMAN, J. et al. **glmnet: Lasso and Elastic-Net Regularized Generalized Linear Models**. [S.l.], 2023. R package version 4.1-8. Disponível em: <https://glmnet.stanford.edu>. Citado na p. 41.

GORODETSKAYA, O.; GOBAREVA, Y.; KOROTEEV, M. A Machine Learning Pipeline for Forecasting Time Series in the Banking Sector. **Economies**, v. 9, n. 4, p. 205, dez. 2021. Number: 4 Publisher: Multidisciplinary Digital Publishing Institute. ISSN 2227-7099. DOI: [10.3390/economies9040205](https://doi.org/10.3390/economies9040205). Disponível em: <https://www.mdpi.com/2227-7099/9/4/205>. Acesso em: 27 fev. 2023. Citado na p. 36.

GROSS, C. W.; SOHL, J. E. Disaggregation methods to expedite product line forecasting. **Journal of Forecasting**, v. 9, n. 3, p. 233–254, 1990. ISSN 1099-131X. DOI: [10.1002/for.3980090304](https://doi.org/10.1002/for.3980090304). Disponível em: <https://onlinelibrary.wiley.com/doi/abs/10.1002/for.3980090304>. Acesso em: 18 jun. 2023. Citado nas pp. 13, 19.

HASTIE, T.; TIBSHIRANI, R.; FRIEDMAN, J. **The Elements of Statistical Learning: Data Mining, Inference, and Prediction, Second Edition**. 2nd 2009, Corr. 9th Printing 2017 ed. edição. New York, NY: Springer, 1 fev. 2009. ISBN 978-0-387-84857-0. Citado nas pp. 63, 65, 66.

HYNDMAN, R.; ATHANASOPOULOS, G. **Forecasting: principles and practice**. 3. ed. Melbourne, Austrália: OTexts, 2021. Disponível em: <https://otexts.com/fpp3/>. Citado nas pp. 13, 16, 18, 19, 46.

HYNDMAN, R. J.; KOEHLER, A. B. et al. A state space framework for automatic forecasting using exponential smoothing methods. **International Journal of Forecasting**, v. 18, n. 3, p. 439–454, 1 jul. 2002. ISSN 0169-2070. DOI: [10.1016/S0169-2070\(01\)00110-8](https://doi.org/10.1016/S0169-2070(01)00110-8). Disponível em: <https://www.sciencedirect.com/science/article/pii/S0169207001001108>. Acesso em: 26 nov. 2023. Citado na p. 41.

HYNDMAN, R. J.; AHMED, R. A. et al. Optimal combination forecasts for hierarchical time series. **Computational Statistics & Data Analysis**, v. 55, n. 9, p. 2579–2589, 1 set. 2011. ISSN 0167-9473. DOI: [10.1016/j.csda.2011.03.006](https://doi.org/10.1016/j.csda.2011.03.006). Disponível em: <https://www.sciencedirect.com/science/article/pii/S0167947311000971>. Acesso em: 11 jan. 2023. Citado na p. 23.

HYNDMAN, R. J.; LEE, A. J.; WANG, E. Fast computation of reconciled forecasts for hierarchical and grouped time series. **Computational Statistics & Data Analysis**, v. 97, p. 16–32, 1 mai. 2016. ISSN 0167-9473. DOI: [10.1016/j.csda.2015.11.007](https://doi.org/10.1016/j.csda.2015.11.007). Disponível em: <https://www.sciencedirect.com/science/article/pii/S016794731500290X>. Acesso em: 11 jan. 2023. Citado na p. 23.

KE, G. et al. LightGBM: A Highly Efficient Gradient Boosting Decision Tree. In: **ADVANCES in Neural Information Processing Systems**. [S.l.]: Curran Associates, Inc., 2017. v. 30. Disponível em: <https://proceedings.neurips.cc/paper/2017/hash/6449f44a102fde848669bdd9eb6b76fa-Abstract.html>. Acesso em: 23 jan. 2024. Citado na p. 63.



KOURENTZES, N.; ATHANASOPOULOS, G. Cross-temporal coherent forecasts for Australian tourism. **Annals of Tourism Research**, v. 75, p. 393–409, 1 mar. 2019. ISSN 0160-7383. DOI: [10.1016/j.annals.2019.02.001](https://doi.org/10.1016/j.annals.2019.02.001). Disponível em: <https://www.sciencedirect.com/science/article/pii/S0160738319300167>>. Acesso em: 11 jan. 2023. Citado na p. 47.

LANG, M. et al. **mlr3: Machine Learning in R - Next Generation**. [S.l.], 2024. R package version 0.18.0. Disponível em: <https://mlr3.mlr-org.com>>. Citado na p. 41.

LI, Z. et al. A Hierarchical Approach Using Machine Learning Methods in Solar Photovoltaic Energy Production Forecasting. **Energies**, v. 9, n. 1, p. 55, jan. 2016. Number: 1 Publisher: Multidisciplinary Digital Publishing Institute. ISSN 1996-1073. DOI: [10.3390/en9010055](https://doi.org/10.3390/en9010055). Disponível em: <https://www.mdpi.com/1996-1073/9/1/55>>. Acesso em: 8 abr. 2023. Citado na p. 36.

MAKRIDAKIS, S.; SPILIOTIS, E.; ASSIMAKOPOULOS, V. M5 accuracy competition: Results, findings, and conclusions. **International Journal of Forecasting**, v. 38, n. 4, p. 1346–1364, 1 out. 2022. ISSN 0169-2070. DOI: [10.1016/j.ijforecast.2021.11.013](https://doi.org/10.1016/j.ijforecast.2021.11.013). Disponível em: <https://www.sciencedirect.com/science/article/pii/S0169207021001874>>. Acesso em: 15 mar. 2024. Citado nas pp. 4, 5.

O'HARA-WILD, M.; HYNDMAN, R.; WANG, E. **fable: Forecasting Models for Tidy Time Series**. [S.l.], 2024. R package version 0.3.4. Disponível em: <https://fable.tidyverts.org>>. Citado na p. 41.

\_\_\_\_\_. **fabletools: Core Tools for Packages in the fable Framework**. [S.l.], 2024. R package version 0.4.1. Disponível em: <https://fabletools.tidyverts.org/>>. Citado na p. 41.

PANAGIOTELIS, A. et al. Forecast reconciliation: A geometric view with new insights on bias correction. **International Journal of Forecasting**, v. 37, n. 1, p. 343–359, 1 jan. 2021. ISSN 0169-2070. DOI: [10.1016/j.ijforecast.2020.06.004](https://doi.org/10.1016/j.ijforecast.2020.06.004). Disponível em: <https://www.sciencedirect.com/science/article/pii/S0169207020300911>>. Acesso em: 15 jan. 2023. Citado na p. 25.

PRAYOGA, I.; SUHARTONO, S.; RAHAYU, S. Top-down forecasting for high dimensional currency circulation data of Bank Indonesia. **International Journal of Advances in Soft Computing and its Applications**, v. 9, p. 62–74, 1 jan. 2017. Citado na p. 36.

R CORE TEAM. **R: A Language and Environment for Statistical Computing**. Vienna, Austria, 2023. Disponível em: <https://www.R-project.org/>>. Citado na p. 41.

SEZER, O. B.; GUDELEK, M. U.; OZBAYOGLU, A. M. **Financial Time Series Forecasting with Deep Learning : A Systematic Literature Review: 2005-2019**. Turquia: arXiv, 29 nov. 2019. arXiv: [1911.13288](https://arxiv.org/abs/1911.13288)[cs,q-fin,stat]. Disponível em: <http://arxiv.org/abs/1911.13288>>. Acesso em: 7 mar. 2023. Citado na p. 36.

SHI, Y. et al. **lightgbm: Light Gradient Boosting Machine**. [S.l.], 2024. R package version 4.3.0. Disponível em: <https://github.com/Microsoft/LightGBM>>. Citado na p. 41.

SHIRATORI, T.; KOBAYASHI, K.; TAKANO, Y. Prediction of hierarchical time series using structured regularization and its application to artificial neural networks. **PLOS ONE**, v. 15, n. 11, e0242099, 12 nov. 2020. Publisher: Public Library of Science. ISSN 1932-6203. DOI: [10.1371/journal.pone.0242099](https://doi.org/10.1371/journal.pone.0242099). Disponível em: <<https://journals.plos.org/plosone/article?id=10.1371/journal.pone.0242099>>. Acesso em: 18 mar. 2024. Citado na p. 25.

SPILOTIS, E. et al. Hierarchical forecast reconciliation with machine learning. **Applied Soft Computing**, v. 112, p. 107756, 1 nov. 2021. ISSN 1568-4946. DOI: [10.1016/j.asoc.2021.107756](https://doi.org/10.1016/j.asoc.2021.107756). Disponível em: <<https://www.sciencedirect.com/science/article/pii/S1568494621006773>>. Acesso em: 11 jan. 2023. Citado nas pp. 4, 5, 14, 15, 24–28, 37, 42, 43, 47.

STONE, M. Cross-validation and multinomial prediction. **Biometrika**, v. 61, n. 3, p. 509–515, 1 dez. 1974. ISSN 0006-3444. DOI: [10.1093/biomet/61.3.509](https://doi.org/10.1093/biomet/61.3.509). Disponível em: <<https://doi.org/10.1093/biomet/61.3.509>>. Acesso em: 28 mai. 2023. Citado na p. 31.

WALLANDER, J. Budgeting — an unnecessary evil. **Scandinavian Journal of Management**, v. 15, n. 4, p. 405–421, 1 dez. 1999. ISSN 0956-5221. DOI: [10.1016/S0956-5221\(98\)00032-3](https://doi.org/10.1016/S0956-5221(98)00032-3). Disponível em: <<https://www.sciencedirect.com/science/article/pii/S0956522198000323>>. Acesso em: 8 mai. 2023. Citado na p. 34.

WICKRAMASURIYA, S. L.; ATHANASOPOULOS, G.; HYNDMAN, R. J. Optimal Forecast Reconciliation for Hierarchical and Grouped Time Series Through Trace Minimization. **Journal of the American Statistical Association**, v. 114, n. 526, p. 804–819, 3 abr. 2019. ISSN 0162-1459, 1537-274X. DOI: [10.1080/01621459.2018.1448825](https://doi.org/10.1080/01621459.2018.1448825). Disponível em: <<https://www.tandfonline.com/doi/full/10.1080/01621459.2018.1448825>>. Acesso em: 18 jun. 2023. Citado nas pp. 14, 23, 24, 47.

WRIGHT, M. N.; WAGER, S.; PROBST, P. **ranger: A Fast Implementation of Random Forests**. [S.l.], 2023. R package version 0.16.0. Disponível em: <<http://imbs-hl.github.io/ranger/>>. Citado na p. 41.

ZOU, H.; HASTIE, T. Regularization and variable selection via the elastic net. **Journal of the Royal Statistical Society: Series B (Statistical Methodology)**, v. 67, n. 2, p. 301–320, 2005. \_eprint: <https://onlinelibrary.wiley.com/doi/pdf/10.1111/j.1467-9868.2005.00503.x>. ISSN 1467-9868. DOI: [10.1111/j.1467-9868.2005.00503.x](https://doi.org/10.1111/j.1467-9868.2005.00503.x). Disponível em: <<https://onlinelibrary.wiley.com/doi/abs/10.1111/j.1467-9868.2005.00503.x>>. Acesso em: 5 jun. 2023. Citado na p. 62.

# Apêndices

# APÊNDICE A – DEMONSTRAÇÕES

**Proposição A.1** (condição de ausência de viés em  $\tilde{\mathbf{y}}$ ). *Se as previsões reconciliadas são não viesadas, então  $\mathbf{SGS} = \mathbf{S}$ , ou seja,  $\mathbf{G}$  é inversa generalizada de  $\mathbf{S}$ .*

*Demonstração.*

$$\tilde{\mathbf{y}}_{t+h|t} = \mathbf{SG}\hat{\mathbf{y}}_{t+h|t} \quad (\text{A.1})$$

Se  $\hat{\mathbf{y}}_{t+h|t}$  é não viesado, então

$$\mathbb{E}[\hat{\mathbf{y}}_{t+h|t}] = \mathbb{E}[\mathbf{y}_{t+h|t}] = \mathbf{S}\mathbf{b}_t \quad (\text{A.2})$$

Da mesma forma, se espera-se que as previsões reconciliadas não sejam viesadas,

$$\mathbb{E}[\tilde{\mathbf{y}}_{t+h|t}] = \mathbb{E}[\mathbf{y}_{t+h|t}] = \mathbf{S}\mathbf{b}_t \quad (\text{A.3})$$

Substituindo (A.2) em (A.1), temos

$$\tilde{\mathbf{y}}_{t+h|t} = \mathbf{SGS}\mathbf{b}_t \quad (\text{A.4})$$

Logo, para manter a igualdade entre (A.1) e (A.4),  $\mathbf{SGS} = \mathbf{S}$

□

**Proposição A.2.**  $\tilde{\mathbf{e}}_t = \mathbf{SG}\hat{\mathbf{e}}_t$ .

*Demonstração.*

$$\tilde{\mathbf{e}}_{t+h|t} = \mathbf{y}_{t+h} - \tilde{\mathbf{y}}_{t+h|t} \quad (\text{A.5})$$

Substituindo (A.1) em (A.5),

$$\tilde{\mathbf{e}}_{t+h|t} = \mathbf{y}_{t+h} - \mathbf{SG}\hat{\mathbf{y}}_{t+h|t} \quad (\text{A.6})$$

Lembrando que, por definição,  $\mathbf{y}_{t+h} = \hat{\mathbf{y}}_{t+h|t} + \hat{\mathbf{e}}_{t+h|t}$ , então

$$\tilde{\mathbf{e}}_{t+h|t} = \hat{\mathbf{y}}_{t+h|t} + \hat{\mathbf{e}}_{t+h|t} - \mathbf{SG}\hat{\mathbf{y}}_{t+h|t} \quad (\text{A.7})$$

$$= \hat{\mathbf{e}}_{t+h|t} + \hat{\mathbf{y}}_{t+h|t}(\mathbf{I} - \mathbf{SG}) \quad (\text{A.8})$$

Usando a definição novamente, temos que

$$\tilde{e}_{t+h|t} = \hat{e}_{t+h|t} + (y_{t+h} - \hat{e}_{t+h|t})(I - SG) \quad (\text{A.9})$$

$$= y_{t+h} - SGy_{t+h|t} + SG\hat{e}_{t+h|t} \quad (\text{A.10})$$

$$= y_{t+h}(I - SG) + SG\hat{e}_{t+h|t} \quad (\text{A.11})$$

Substituindo (5) em (A.11), temos

$$\tilde{e}_{t+h|t} = Sb_{t+h}(I - SG) + SG\hat{e}_{t+h|t} \quad (\text{A.12})$$

$$= Sb_{t+h} - Sb_{t+h}SG + SG\hat{e}_{t+h|t} \quad (\text{A.13})$$

$$= Sb_{t+h} - (G'S')(b'_{t+h}S') + SG\hat{e}_{t+h|t} \quad (\text{A.14})$$

$$= Sb_{t+h} - SGSb_{t+h} + SG\hat{e}_{t+h|t} \quad (\text{A.15})$$

Finalmente, pela condição de ausência de viés em  $\tilde{y}$ , temos que

$$\tilde{e}_{t+h|t} = Sb_{t+h} - Sb_{t+h} + SG\hat{e}_{t+h|t} \quad (\text{A.16})$$

$$= SG\hat{e}_{t+h|t} \quad (\text{A.17})$$

□

**Proposição A.3.**  $Var[\tilde{e}_t] = SG\hat{W}G'S'$ .

*Demonstração.* Por A.2, temos que

$$Var[\tilde{e}] = \mathbb{E}[(SG\hat{e})(SG\hat{e})'] \quad (\text{A.18})$$

$$= \mathbb{E}[SG\hat{e}\hat{e}'G'S'] \quad (\text{A.19})$$

$$= SG\hat{W}G'S' \quad (\text{A.20})$$

Em que  $\hat{W}$  é a matriz de variância-covariância dos erros de previsão base. □

**Proposição A.4.**  $\hat{W}$  é posto incompleto.

*Demonstração.* Pela propriedade do vínculo do posto do produto de matrizes, ou seja,  $pos(AB) \leq \min(pos(A), pos(B))$ , temos que

$$pos(SG\hat{e}_{t+h|t}) \leq \min(pos(S), pos(G), pos(\hat{e}_{t+h|t})) \quad (\text{A.21})$$

Como  $S$  é a representação matricial de uma estrutura hierárquica, em que os nós pais totalizam os nós filhos,  $S$  apresenta, por hipótese, dependência linear e, conseqüentemente, posto incompleto.

Pela equação (A.21), segue que  $\tilde{e}$  é posto incompleto. Da mesma forma,  $pos(\tilde{e}\tilde{e}') \leq \min(pos(\tilde{e}), pos(\tilde{e}'))$ . Portanto,  $\hat{W}$  é posto incompleto.  $\square$

# APÊNDICE B – MÉTODOS DE MACHINE LEARNING

## 1 ELASTIC NET

O *elastic net* (ZOU; HASTIE, 2005) é um método de regressão regularizada que combina as normas  $L_1$  e  $L_2$ , as penalidades do *lasso* e do *ridge*, respectivamente. A função objetivo a ser minimizada é dada por

$$L(\lambda_1, \lambda_2, \beta) = |\mathbf{y} - \mathbf{X}\beta|^2 + \lambda_2|\beta|^2 + \lambda_1|\beta|_1 \quad (\text{B.1})$$

em que  $\lambda_1$  e  $\lambda_2$  são os parâmetros de regularização e  $\beta$  é o vetor de coeficientes a serem estimados. A solução para essa função objetivo é dada por<sup>1</sup>

$$\hat{\beta} = \arg \min_{\beta} |\mathbf{y} - \mathbf{X}\beta|^2, \text{ sujeito a } (1 - \alpha)|\beta|_1 + \alpha|\beta|^2 \leq t \quad (\text{B.2})$$

com  $\alpha = \frac{\lambda_2}{\lambda_1 + \lambda_2}$  e  $t \in \mathbb{R}^+$ .

A função  $(1 - \alpha)|\beta|_1 + \alpha|\beta|^2$  é a penalidade *elastic net*, uma combinação das penalidades *lasso* e *ridge*. O parâmetro  $\alpha$  controla a mistura das duas penalidades, incluindo os casos extremos. Note que  $\alpha = 0 \implies \lambda_2 = 0$ , resultando em uma penalidade exclusivamente *lasso*, enquanto  $\alpha = 1 \implies \lambda_1 = 0$ , e a penalidade é apenas do tipo *ridge*.

Portanto o *elastic net* é um método de *shrinkage*, uma vez que a penalidade *ridge* reduz o tamanho dos coeficientes, e de *seleção de variáveis*, uma vez que a penalidade *lasso* tende a anular os coeficientes de variáveis irrelevantes. Essas propriedades são desejáveis para a reconciliação de séries temporais, uma vez que a estrutura hierárquica pode conter séries insignificantes para a previsão de outras séries.

Diferentemente dos métodos analíticos estudados, o *elastic net* não possui uma solução fechada. Portanto, é necessário utilizar métodos iterativos para encontrar o valor ótimo de  $\hat{\beta}$  e Zou e Hastie (2005) utilizam validação cruzada  $k$ -fold para encontrar quais os valores de  $\lambda_1$  e  $\lambda_2$  que minimizam o resíduo. Nesse sentido, dado a metodologia de processo iterativo envolvendo calibragem de hiperparâmetros e reamostragem, podemos classificar o *elastic net* como um método de *machine learning*.

<sup>1</sup> Sob o valor otimizado ainda é aplicada correção de escala na forma  $(1 + \lambda_2)\hat{\beta}$ . Ver Zou e Hastie (2005).

## 2 GRADIENT BOOSTING

Como cada uma das diversas implementações de *gradient boosting* possui sua teoria adjacente, e não é de objetivo deste trabalho detalhar o funcionamento de cada uma delas, trabalharemos apenas sua intuição.

Assim como os métodos de floresta aleatória, os métodos de *gradient boosting* também são métodos de conjuntos de árvores. A diferença se dá na forma como os modelos são treinados. *Gradient boosting* são métodos que combinam as predições de vários modelos fracos para formar um conjunto — *ensemble*, na definição mais usual, ou comitê (*committee*), na definição de [Hastie, Tibshirani e Friedman \(2009\)](#) quando usado para classificação — mais complexo e preciso (forte).

Um estimador fraco é aquele que tem desempenho apenas ligeiramente melhor que o acaso. O propósito do *boosting* é produzir uma sequência de estimadores fracos, cada um deles focado nos erros dos estimadores anteriores. A cada iteração, as observações classificadas incorretamente (no caso de uma tarefa de classificação) ou de maior variância (no caso de uma tarefa de regressão) na iteração anterior têm seu peso aumentado, e vice-versa. Dessa forma, o modelo subsequente formado na próxima iteração é obrigado a se concentrar nas observações onde as iterações anteriores falharam. Isso que significa transformar um conjunto de estimadores fracos em um conjunto forte.

O *gradient boosting* é uma extensão do *boosting* que utiliza o gradiente da função de perda como critério de otimização, de forma que esta se dá na direção em que a função de perda decresce mais rapidamente a cada iteração. Os métodos utilizados neste trabalho são o *XGBoost* ([CHEN; GUESTRIN, 2016](#)) e o *LightGBM* ([KE et al., 2017](#)).

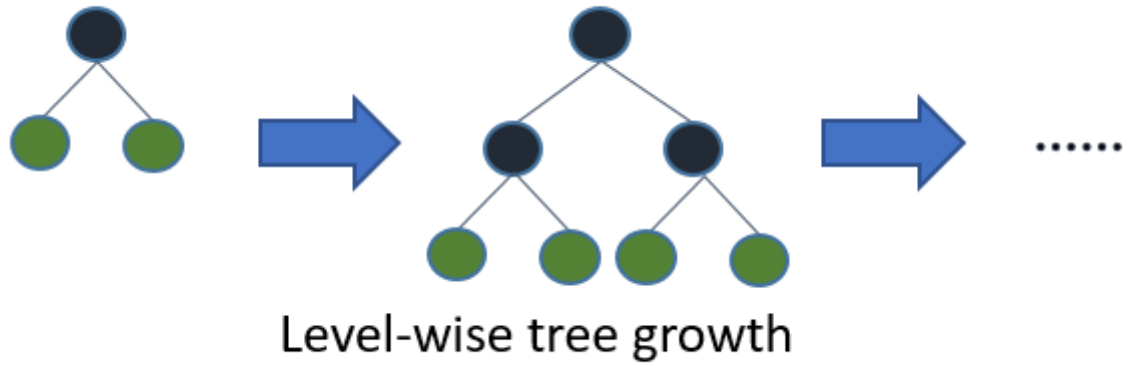
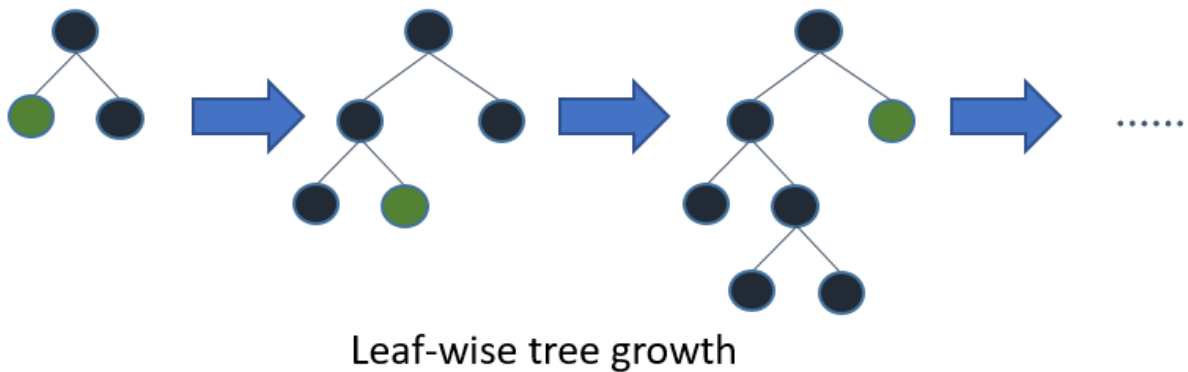
Um das principais diferenças entre os dois métodos é a forma como as árvores são construídas. O *XGBoost* cresce suas árvores de forma *level-wise*, ou seja, cresce todas as folhas do último nível de uma árvore de uma vez, adicionando mais um nível de profundidade completo a cada iteração (Figura 18a). Já o *LightGBM* cresce suas árvores de forma *leaf-wise*, ou seja, cresce uma folha por vez, aprofundando a árvore apenas no nó que resulta na maior variação negativa na função de perda (Figura 18b).

## 3 RANDOM FOREST

Floresta aleatória é um método de aprendizado de máquina que utiliza conjuntos de árvores de decisão descorrelatadas<sup>2</sup> para classificação ou regressão. O método consiste em treinar várias árvores de decisão em subconjuntos aleatórios dos dados de treinamento e, então, combinar suas predições ([HASTIE; TIBSHIRANI; FRIEDMAN, 2009](#)). A aleatoriedade é introduzida

<sup>2</sup> As árvores de decisão são descorrelatadas no sentido que, ao contrário os métodos de *boosting trees*, a próxima árvore não é construída com base na iteração anterior (processo de fortalecimento).



(a) *level-wise*(b) *leaf-wise***Figura 18** – Crescimento de árvores em algoritmos de *boosting*.

de duas formas: na seleção das observações e na seleção das variáveis preditoras.

A intuição para seu algoritmo para regressão é simples e a ideia geral é, para cada árvore de decisão, particionar recursivamente nós de tamanho  $N$  em dois nós filhos de forma a aumentar a complexidade do modelo e minimizar a função de custo. Se a próxima partição de um nó resultar em um ou ambos nós filhos de tamanho menor que um mínimo estabelecido via hiperparâmetro, a partição é interrompida (Algoritmo 1).

## 4 SUPPORT VECTOR MACHINES

A intuição do métodos de SVMs é mais facilmente compreendida a partir de uma tarefa de classificação de duas classes. Nesse caso, o objetivo é encontrar um hiperplano (i.e. um sub-espço de dimensão  $n - 1$ ) que separe as classes de forma que a margem entre o hiperplano e os pontos de cada classe seja a maior possível. Então, dado um conjunto de  $N$  pares de observações e suas respectivas classes,  $\{(x_i, y_i)\}_{i=1}^N$ , em que  $x_i \in \mathbb{R}^p$  e  $y_i \in \{-1, 1\}$ , queremos encontrar o hiperplano definido por

---

**Algoritmo 1:** Floresta aleatória para regressão
 

---

$T_1, T_2, \dots, T_b$  é uma floresta aleatória de  $B$  árvores de decisão.

$i \in \mathbb{N}$  é a quantidade de observações em um nó.

$n_{min} \in \mathbb{N}$  é o número mínimo de observações em um nó.

**for**  $b = 1 \rightarrow B$  **do**

1. Toma uma amostra de tamanho  $N$  dos dados de treino.

**while**  $i < n_{min}$  **do**

a. Seleciona  $j$  variáveis aleatoriamente.

b. Escolhe a melhor variável para *split* dentre  $j$ .

c. Divide o nó em dois nós filhos.

**if** *Nenhum dos nós filhos tem*  $i < n_{min}$  **then**

| d. Repete os passos a-c para cada nó filho.

**end**

**end**

**end**

2. Produz um conjunto de árvores  $\{T_b\}_1^B$ .

3. Realiza a predição para cada árvore  $T_b$  em um ponto  $x$  e calcula a média das predições:

$$\hat{f}(x) = \frac{1}{B} \sum_{b=1}^B T_b(x)$$


---

$$\{x : f(x) = x^T \beta + \beta_0 = 0\}$$

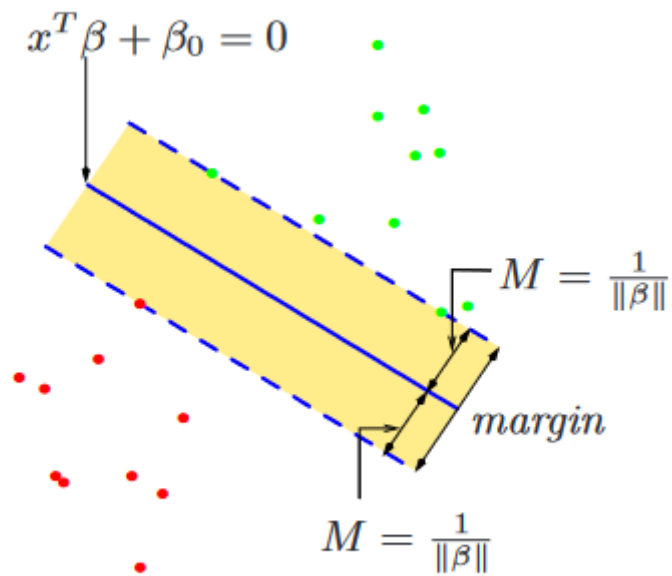
sendo  $f(x)$  a distância ortogonal entre  $x$  e o hiperplano  $f(x) = x^T \beta + \beta_0 = 0$ , e  $M$  a margem entre as classes, definida como a distância ortogonal entre os pontos mais próximos de cada classe e o hiperplano (HASTIE; TIBSHIRANI; FRIEDMAN, 2009). Portanto, o problema de otimização é dado por

$$\begin{aligned} & \max_{\beta, \beta_0} \quad M \\ & \text{sujeito a} \quad y_i(x_i^T \beta + \beta_0) \geq M, \quad i = 1, \dots, N \end{aligned} \tag{B.3}$$

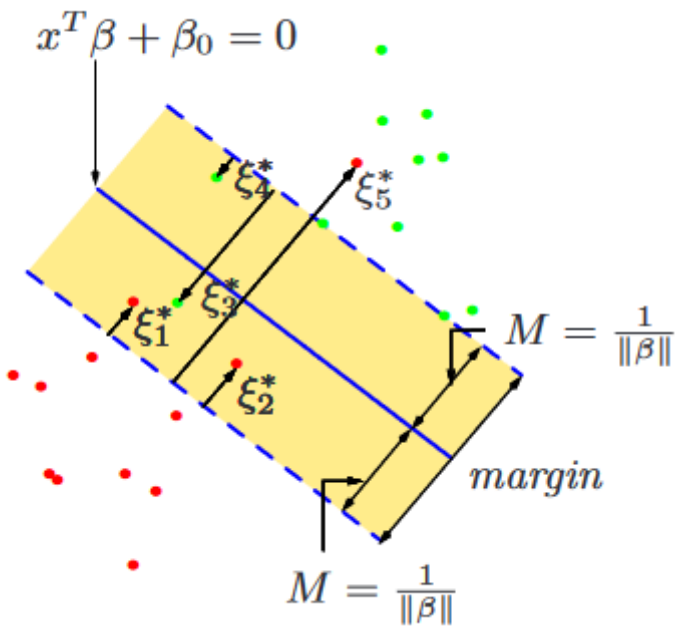
Quando pode-se encontrar um hiperplano com  $y_i f(x_i) > 0 \quad \forall i$ , tem-se o caso da construção de uma solução única para um hiperplano entre duas classes perfeitamente separadas pela maior margem possível (Figura 19a).

Entretanto, no mundo real, dificilmente um problema de classificação será linearmente separável. Para contornar esse obstáculo, é possível introduzir variáveis de folga  $\xi_i \geq 0$  para cada observação (Figura 19b), de forma que a restrição se torne

$$y_i(x_i^T \beta + \beta_0) \geq M(1 - \xi_i), \quad i = 1, \dots, N \tag{B.4}$$



(a) Hiperplano entre duas classes perfeitamente separáveis.



(b) Hiperplano entre duas classes não separáveis.

**Figura 19** – *Support vector classifiers*. Fonte: [Hastie, Tibshirani e Friedman \(2009\)](#).

e a função objetivo se torne

$$\min ||\beta|| \quad \text{sujeito a} \left\{ \begin{array}{l} y_i(x_i^T \beta + \beta_0) \geq M(1 - \xi_i) \quad \forall i, \\ \xi_i \geq 0, \sum \xi_i \leq \text{constante} \end{array} \right\} \quad (\text{B.5})$$

Para estender essa ideia para problemas de regressão, é necessário introduzir uma função de perda  $\epsilon$ -insensível, que penaliza apenas os erros maiores que  $\epsilon$ , de forma que os erros menores são ignorados durante a otimização, assim como as observações localizadas no lado correto do hiperplano são ignoradas no problema de classificação. A função objetivo se torna

$$\min ||\beta|| \quad \text{sujeito a} \left\{ \begin{array}{l} |y_i - x_i^T \beta - \beta_0| \leq \epsilon \quad \forall i, \\ \sum |\beta_j| \leq \text{constante} \end{array} \right\} \quad (\text{B.6})$$

# APÊNDICE C – CONJUNTOS DE HIPERPARÂMETROS

**Tabela 20** – Intervalos de hiperparâmetros para {xgboost}

Hiperparâmetro	Descrição	Intervalo	Trafo
nrounds	Número de iterações	[1, 5000]	NULL
eta	Taxa de aprendizado	[−4, 0]	$10^x$
max_depth	Profundidade máxima	[1, 20]	NULL
subsample	Subamostra	[0.1, 1]	NULL
colsample_bytree	Subamostra de colunas para uma árvore	[0.1, 1]	NULL
colsample_bylevel	Subamostra de colunas por nível de profundidade	[0.1, 1]	NULL
lambda	Regularização L2	[−10, 10]	$2^x$
alpha	Regularização L1	[−10, 10]	$2^x$

**Tabela 21** – Intervalos de hiperparâmetros para {lightgbm}

Hiperparâmetro	Descrição	Intervalo	Trafo
num_iterations	Número de iterações	[1, 1000]	NULL
boosting	Algoritmo de boosting	{gbdt, dart, goss}	NULL
learning_rate	Taxa de aprendizado	[−4, 0]	$10^x$
num_leaves	Número de folhas	[2, 20]	NULL
lambda_l1	Regularização L1	[−12, 12]	$2^x$
lambda_l2	Regularização L2	[−12, 12]	$2^x$
feature_fraction	Subamostra de colunas	[0.1, 1]	NULL
bagging_fraction	Subamostra de linhas	[0.1, 1]	NULL
bagging_freq	Frequência de amostragem	[1, 10]	NULL

**Tabela 22** – Intervalos de hiperparâmetros para {ranger}

Hiperparâmetro	Descrição	Intervalo	Trafo
min.node.size	Número mínimo de observações em um nó terminal	[1, 7]	$2^x$
mtry	Número de variáveis candidatas para split	[1, )	NULL
replace	Amostragem com reposição	{TRUE, FALSE}	NULL
sample.fraction	Fração de observações a serem amostradas	[0.1, 1]	NULL
num.trees	Número de árvores	[1, 2000]	NULL

**Tabela 23** – Intervalos de hiperparâmetros para {e1071} (svm)

Hiperparâmetro	Descrição	Intervalo	Trafo
cost	Custo de $\xi$	$[0, 1]$	$2^x$
kernel	Kernel	{linear, polynomial, radial, sigmoid}	NULL
degree	Grau do polinômio	$[1, 5]$	NULL
gamma	Influência amostral	$[-12, 12]$	$2^x$
type	Tipo de SVM	{eps-regression}	NULL

**Tabela 24** – Intervalos de hiperparâmetros para {glmnet}

Hiperparâmetro	Descrição	Intervalo	Trafo
alpha	Mix entre lasso e ridge	$[0, 1]$	NULL
lambda	Regularização	$[-12, 12]$	$2^x$